

Program EVALPLOT
(Version 2021-1)

by

Dermott E. Cullen
(Present Contact Information)

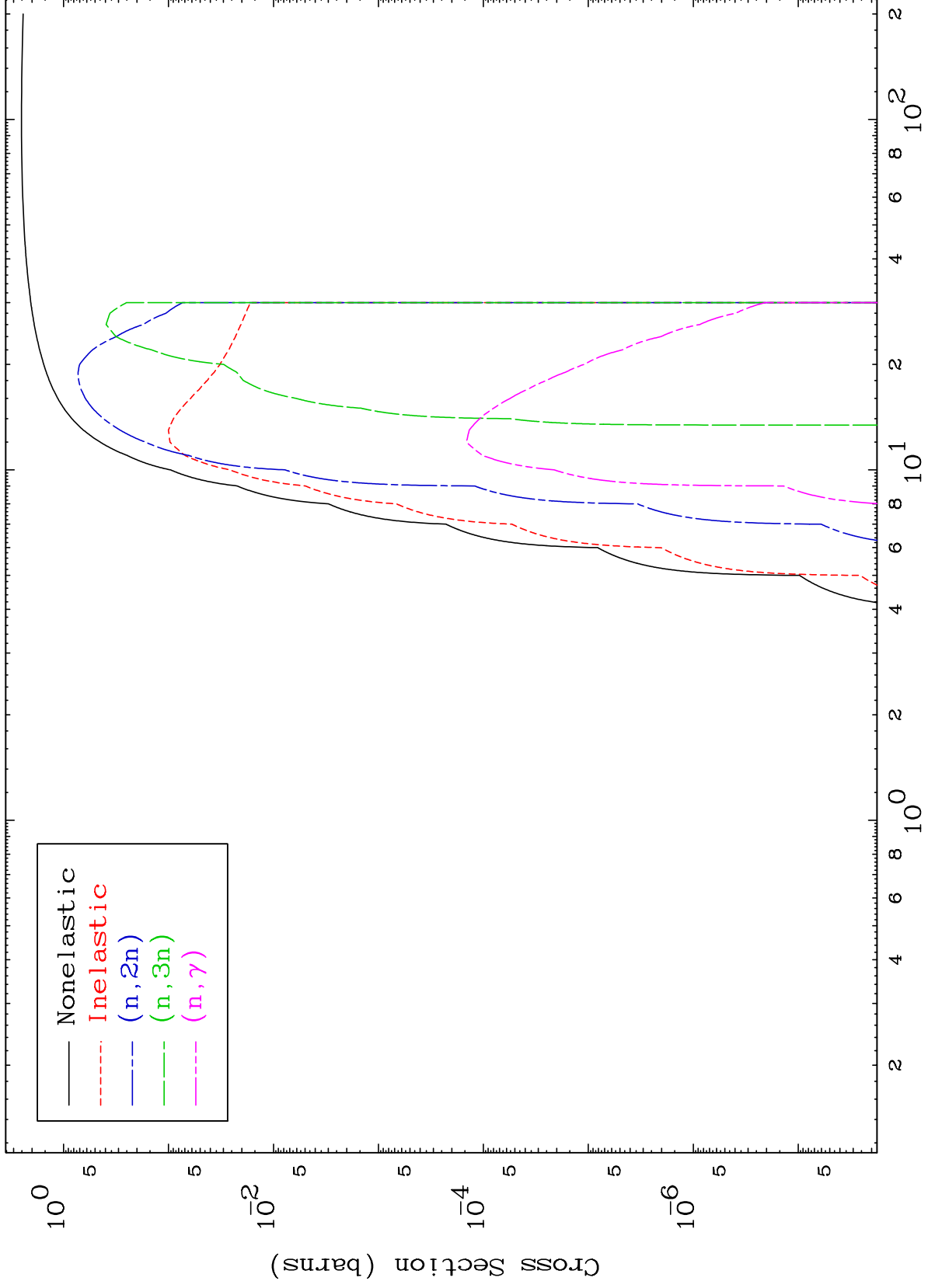
Dermott E. Cullen
1466 Hudson Way
Livermore, CA 94550
U.S.A.

Tele: 925-443-1911

E.Mail:redcullen1@comcast.net

Web:redcullen1.net/HOMEPAGE.NEW

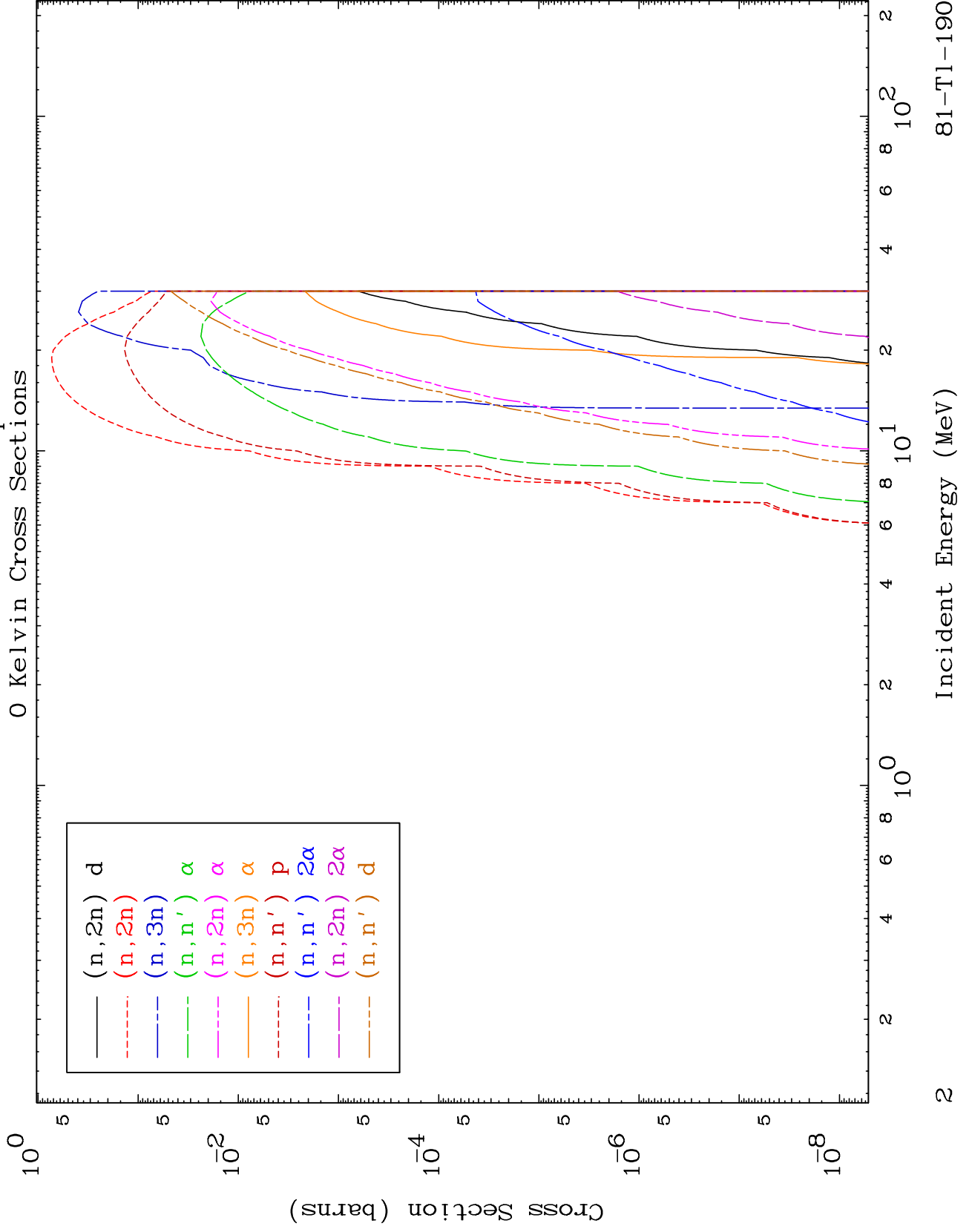
Press Mouse Button to Start

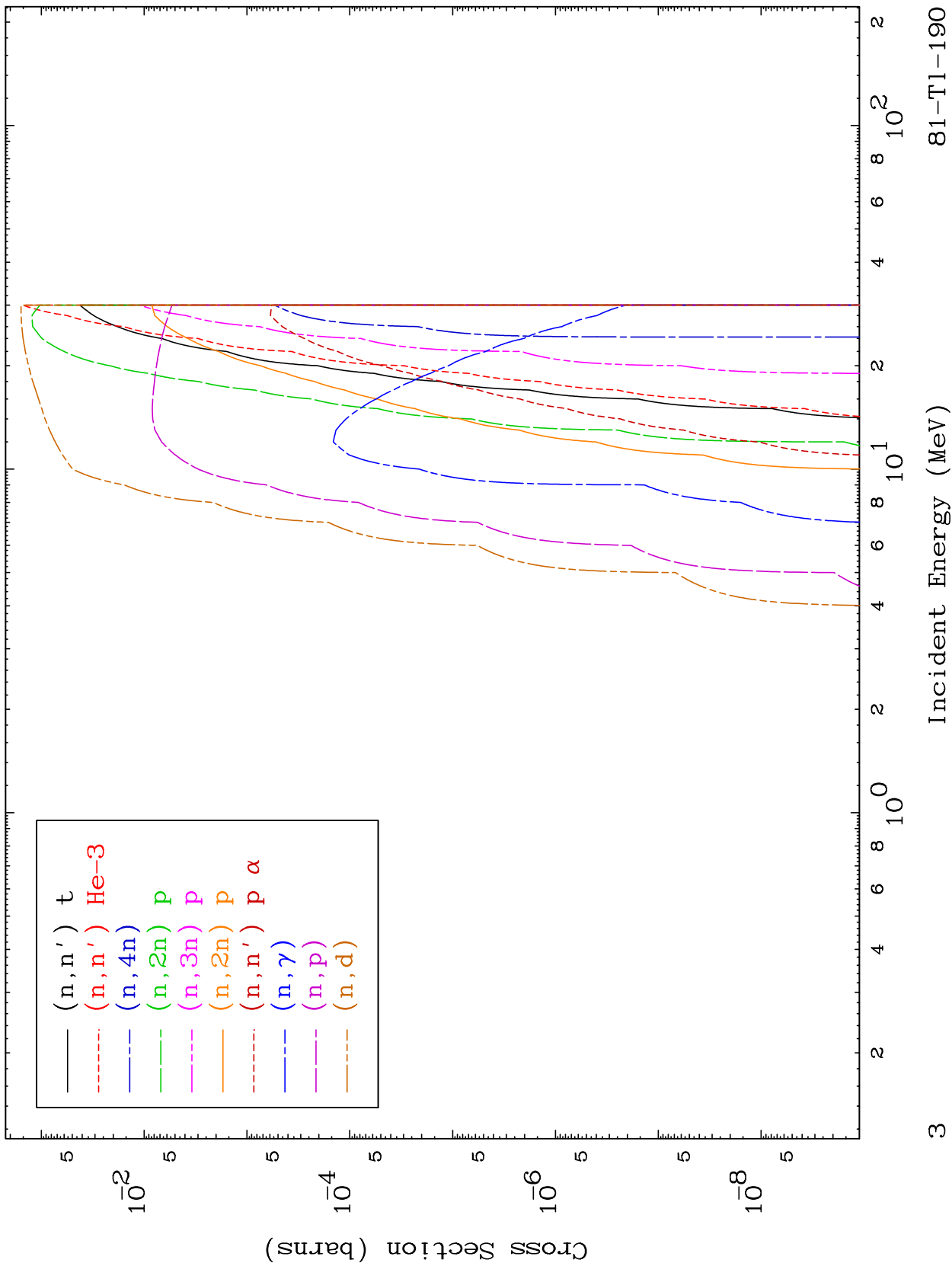


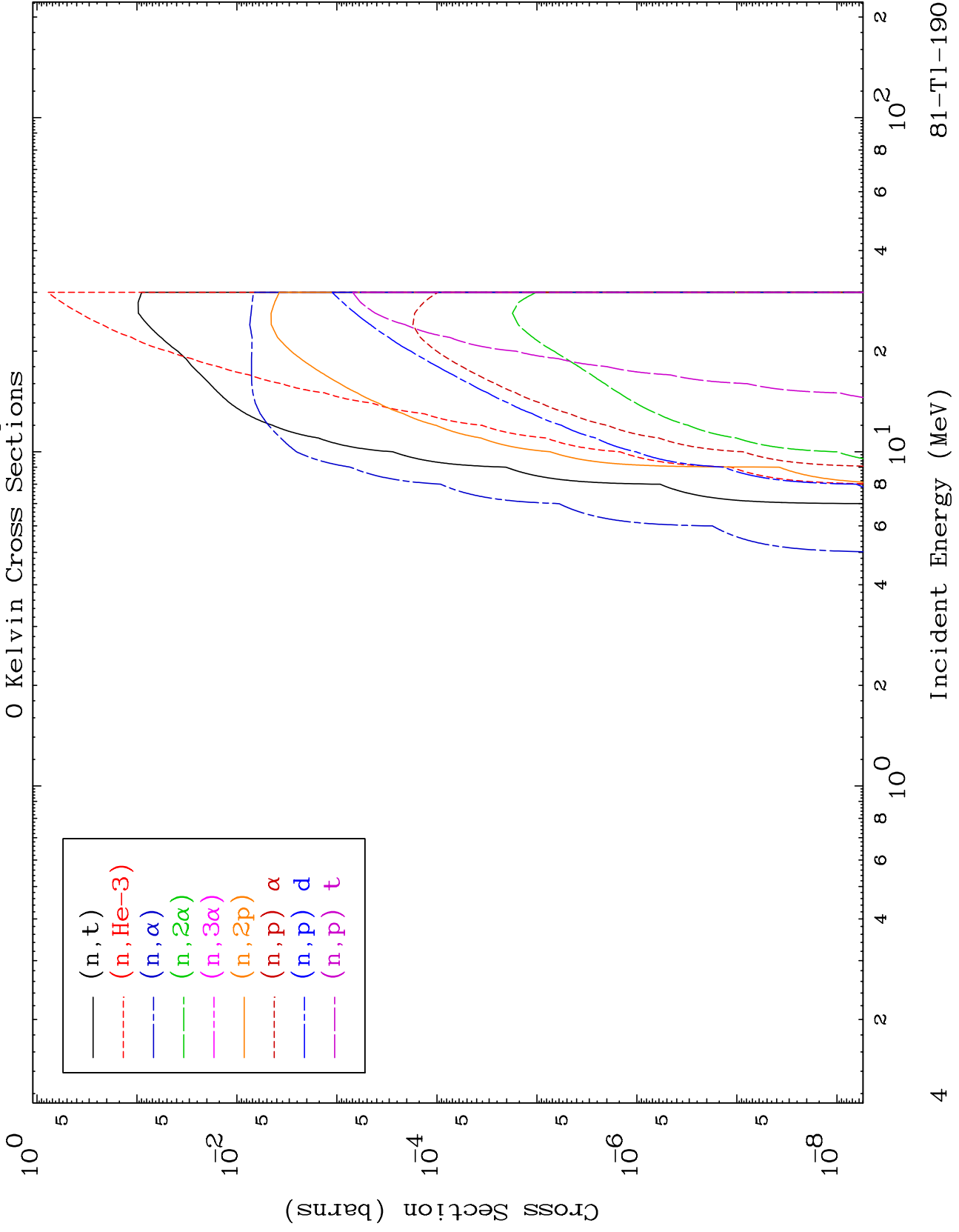
MAT 8086

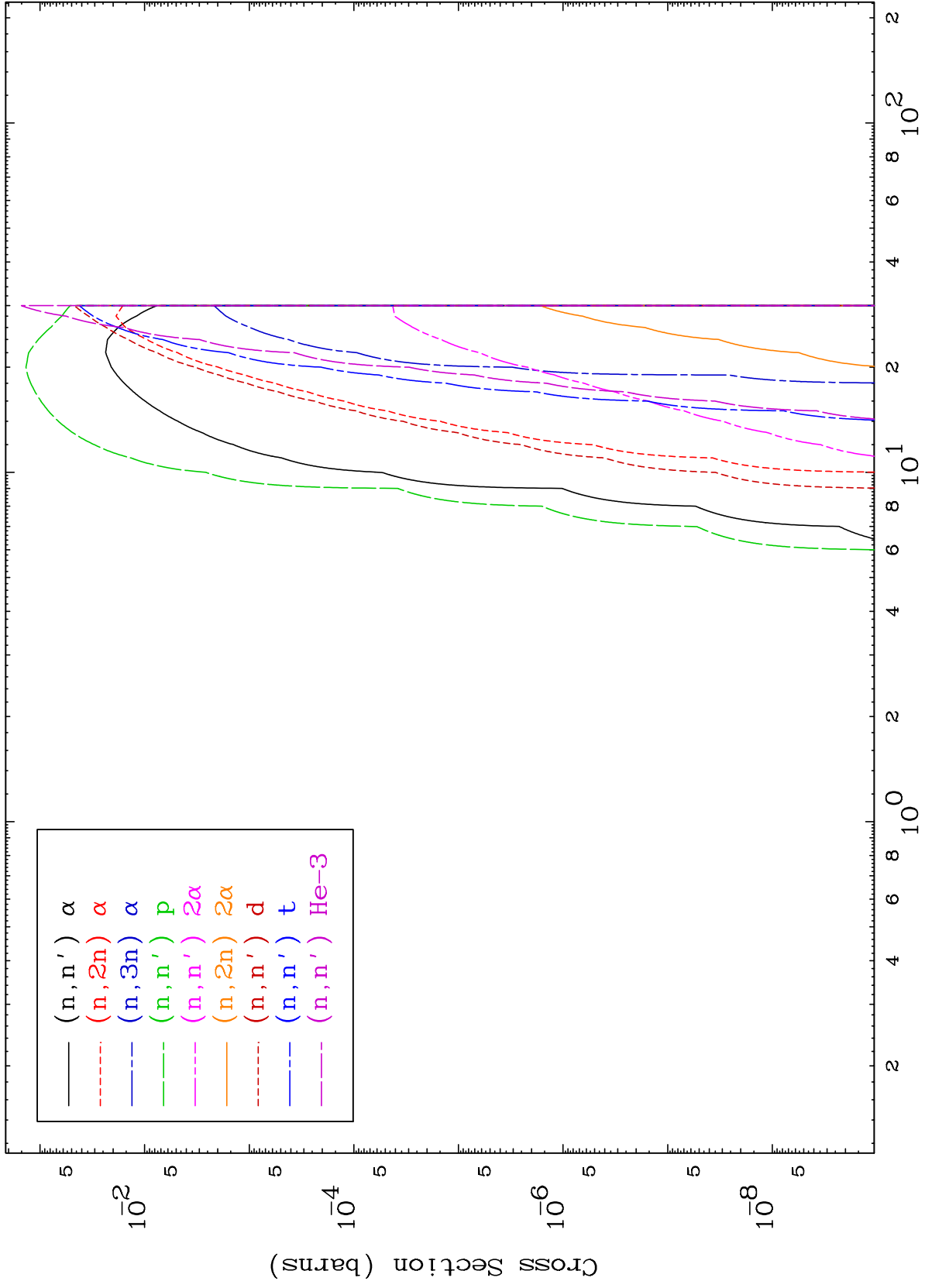
Triton Neutron Absorption
0 Kelvin Cross Sections

81-Tl-190





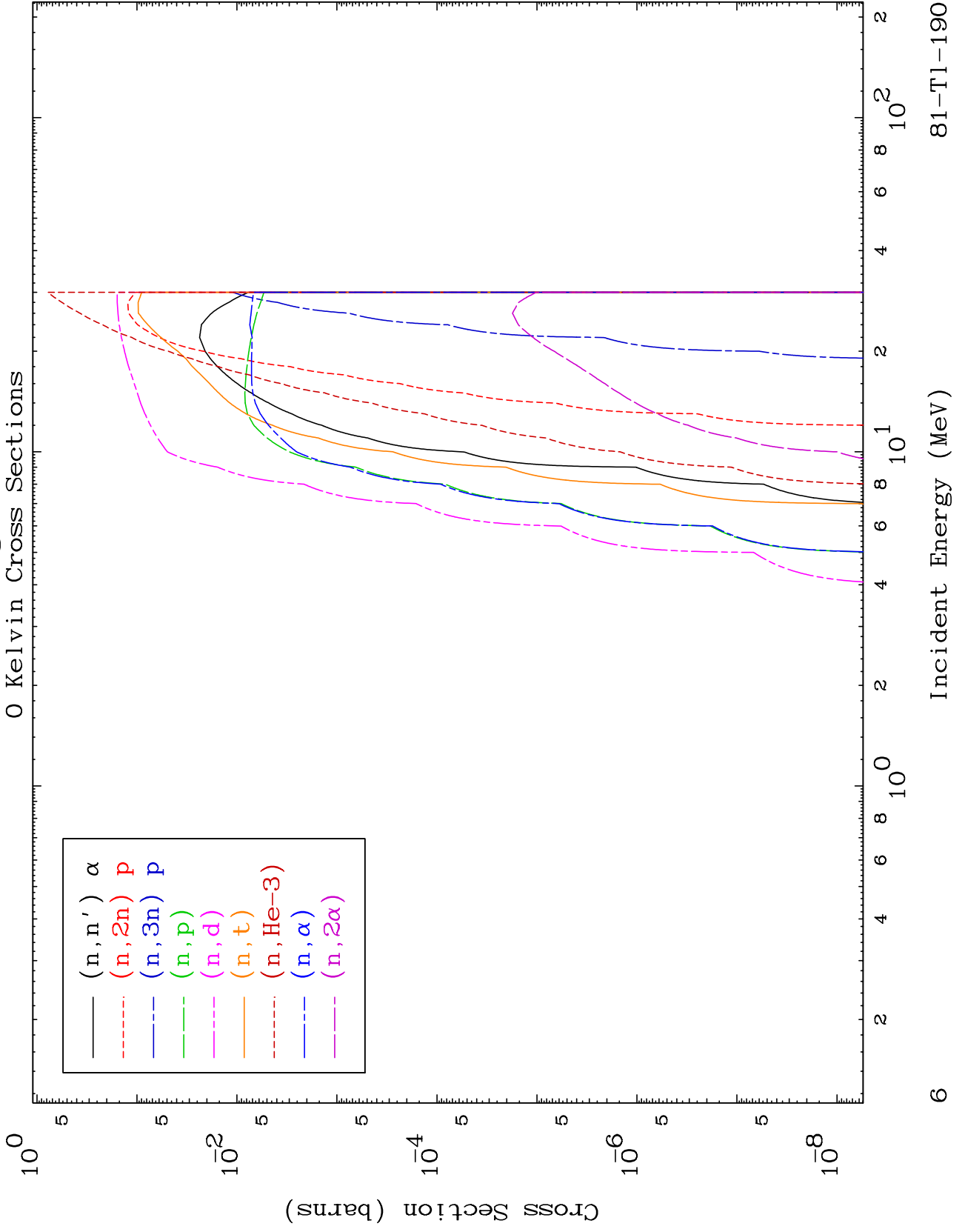


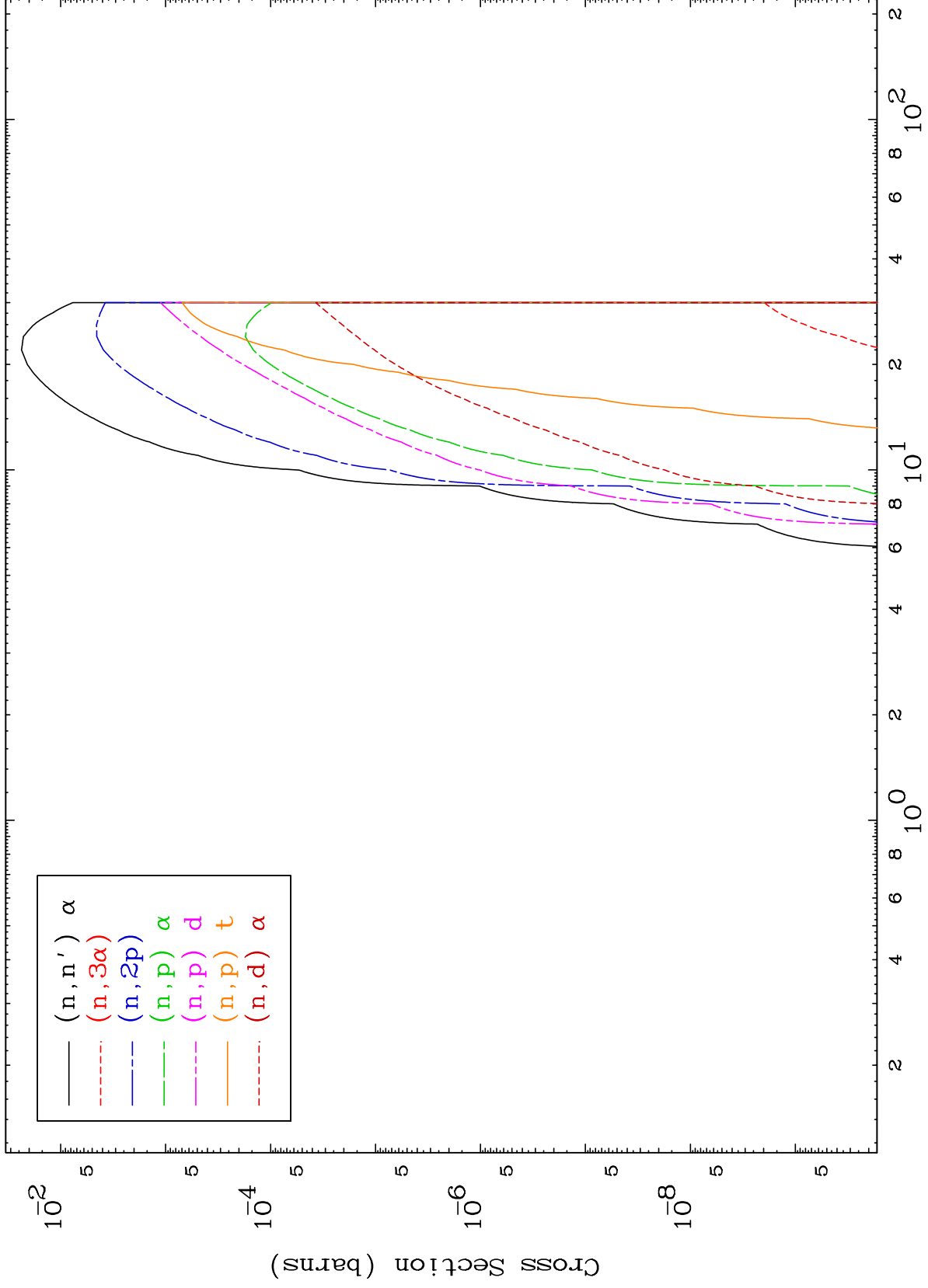


MAT 8086

Triton Charged Particle
0 Kelvin Cross Sections

81-Tl-190

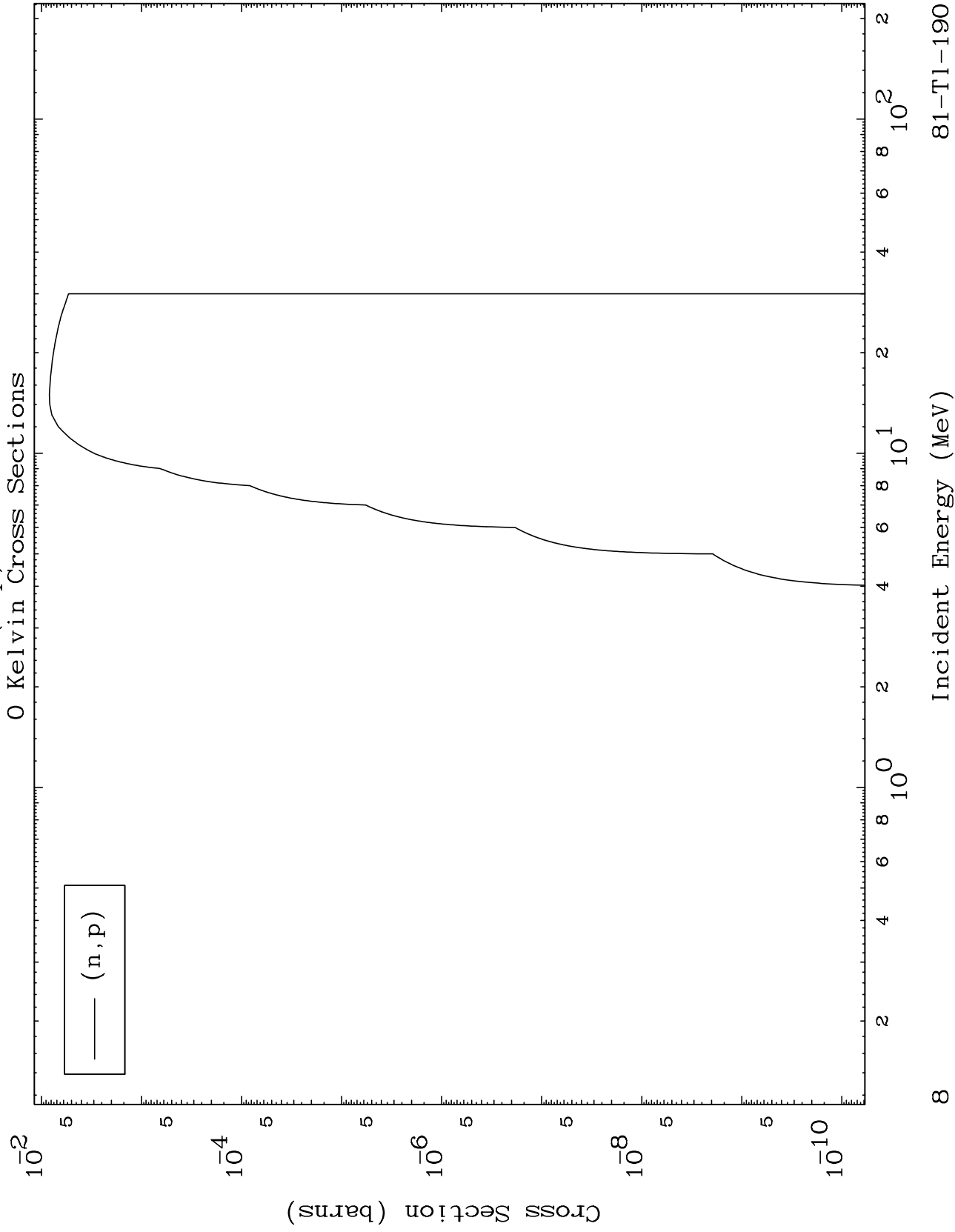




MAT 8086

(t,p) Levels

81-Tl-190

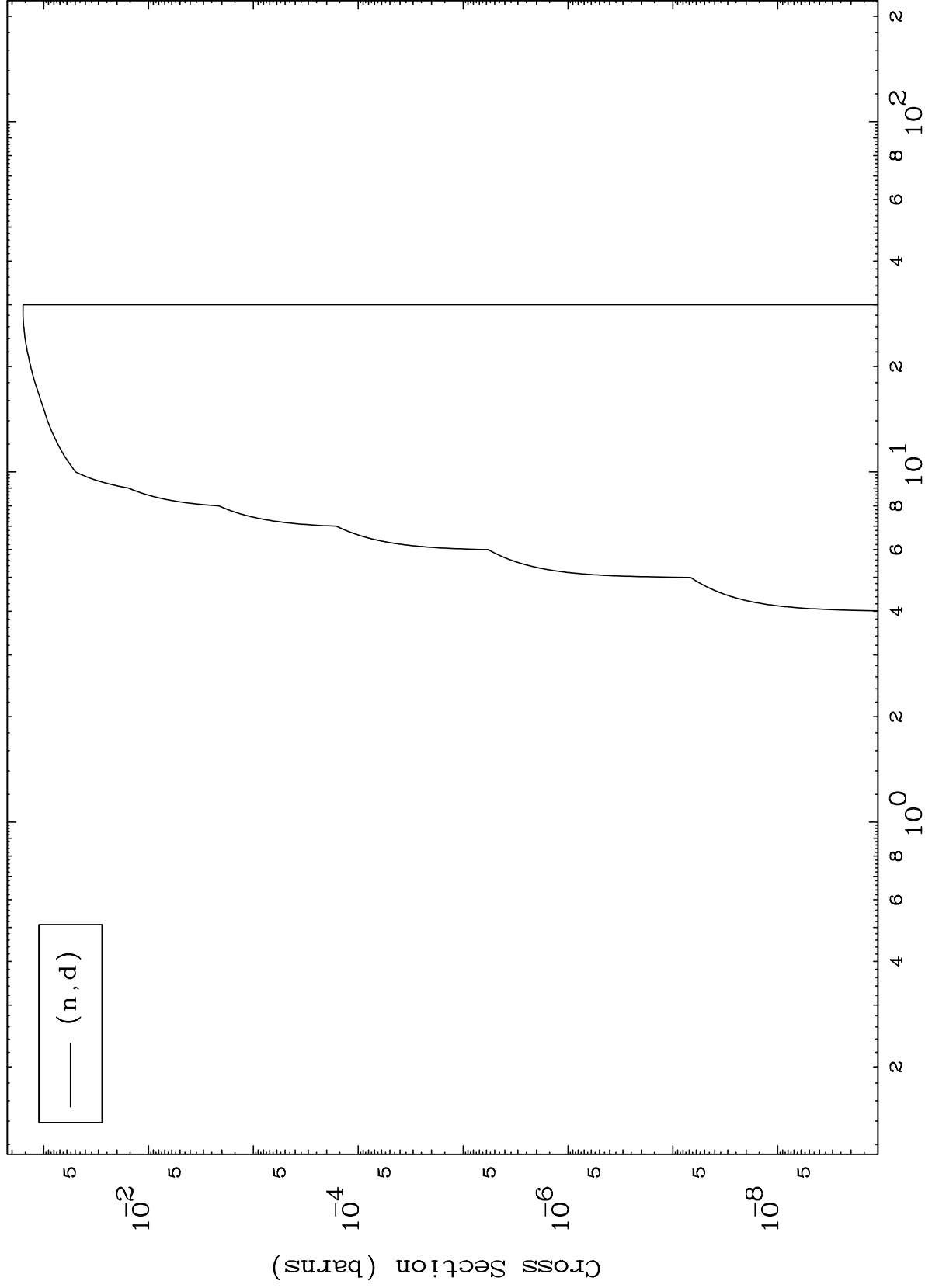


MAT 8086

(t,d) Levels

81-Tl-190

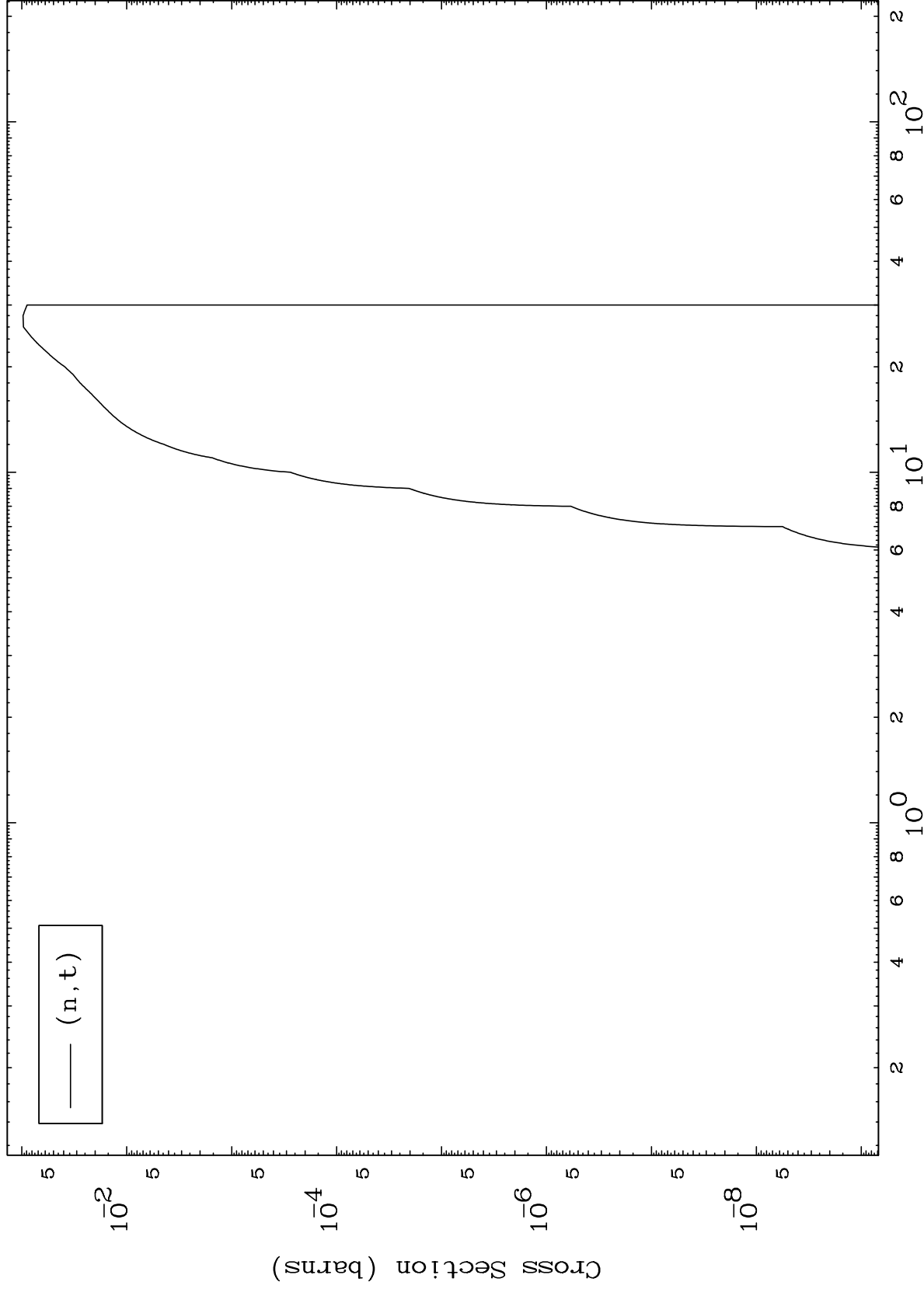
0 Kelvin Cross Sections



MAT 8086

81-Tl-190

(t, t) Levels
0 Kelvin Cross Sections



10

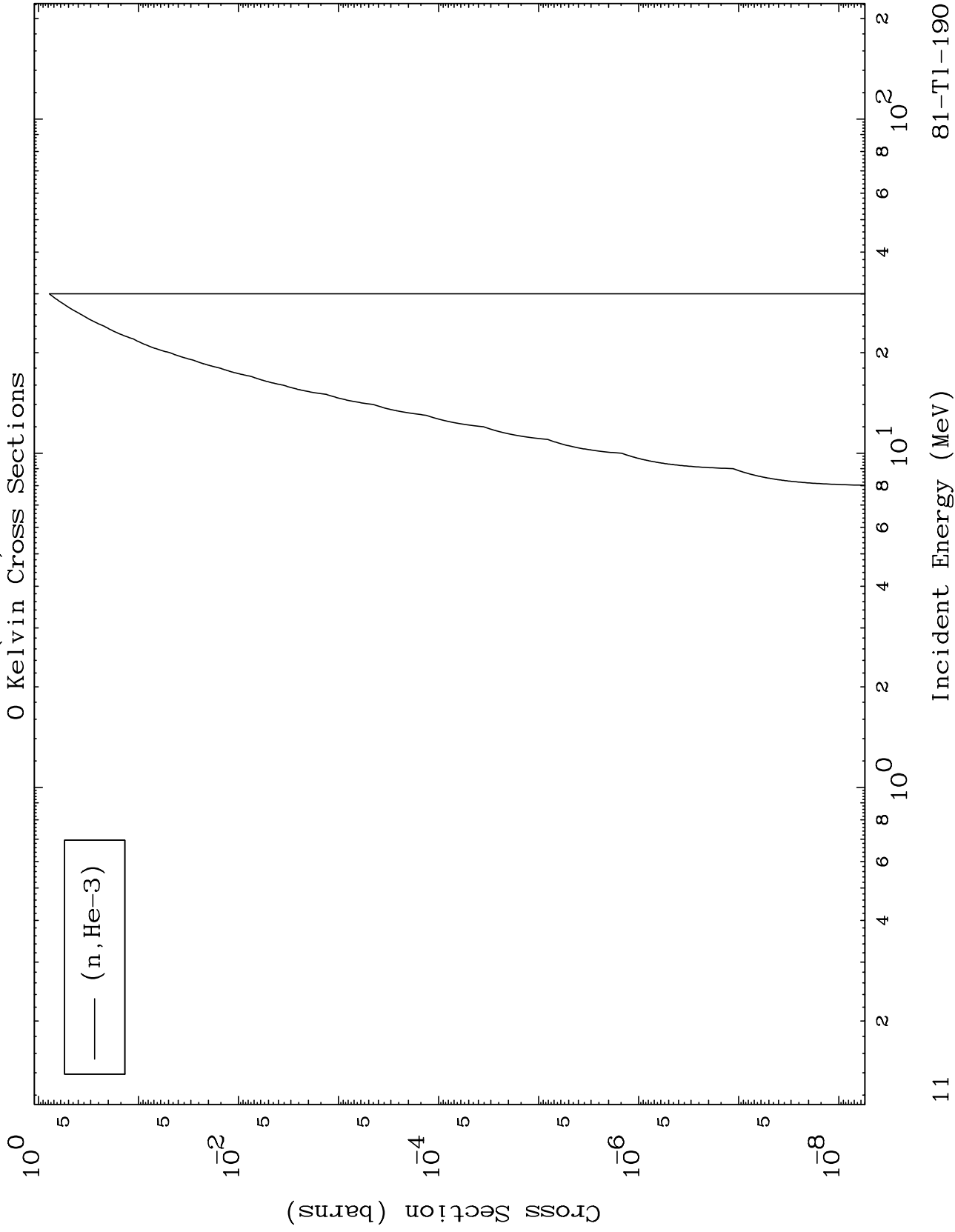
Incident Energy (MeV)

81-Tl-190

MAT 8086

(t,He3) Levels

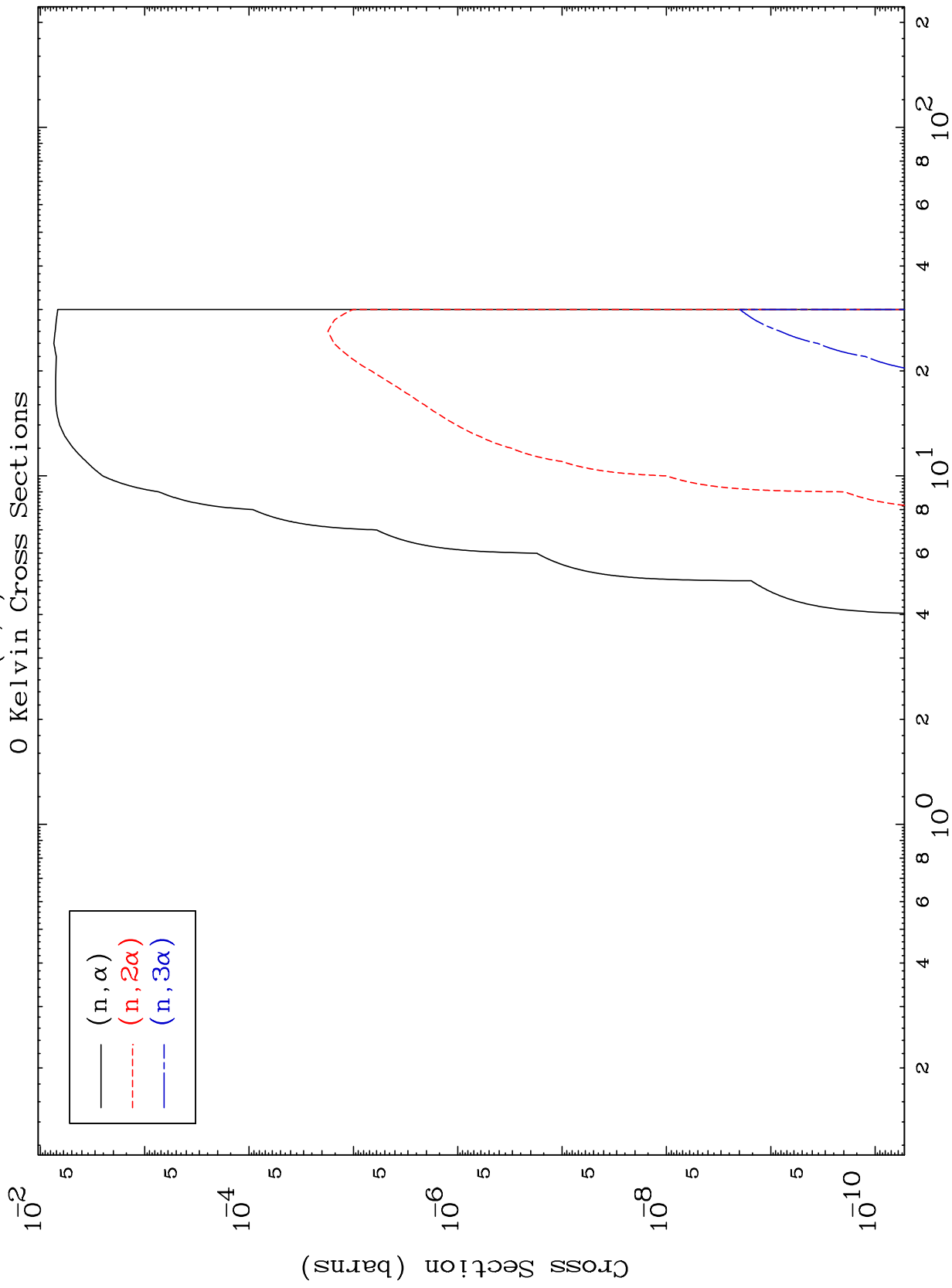
81-T1-190



MAT 8086

81-Tl-190

(t, α) Levels
0 Kelvin Cross Sections



81-Tl-190

Incident Energy (MeV)

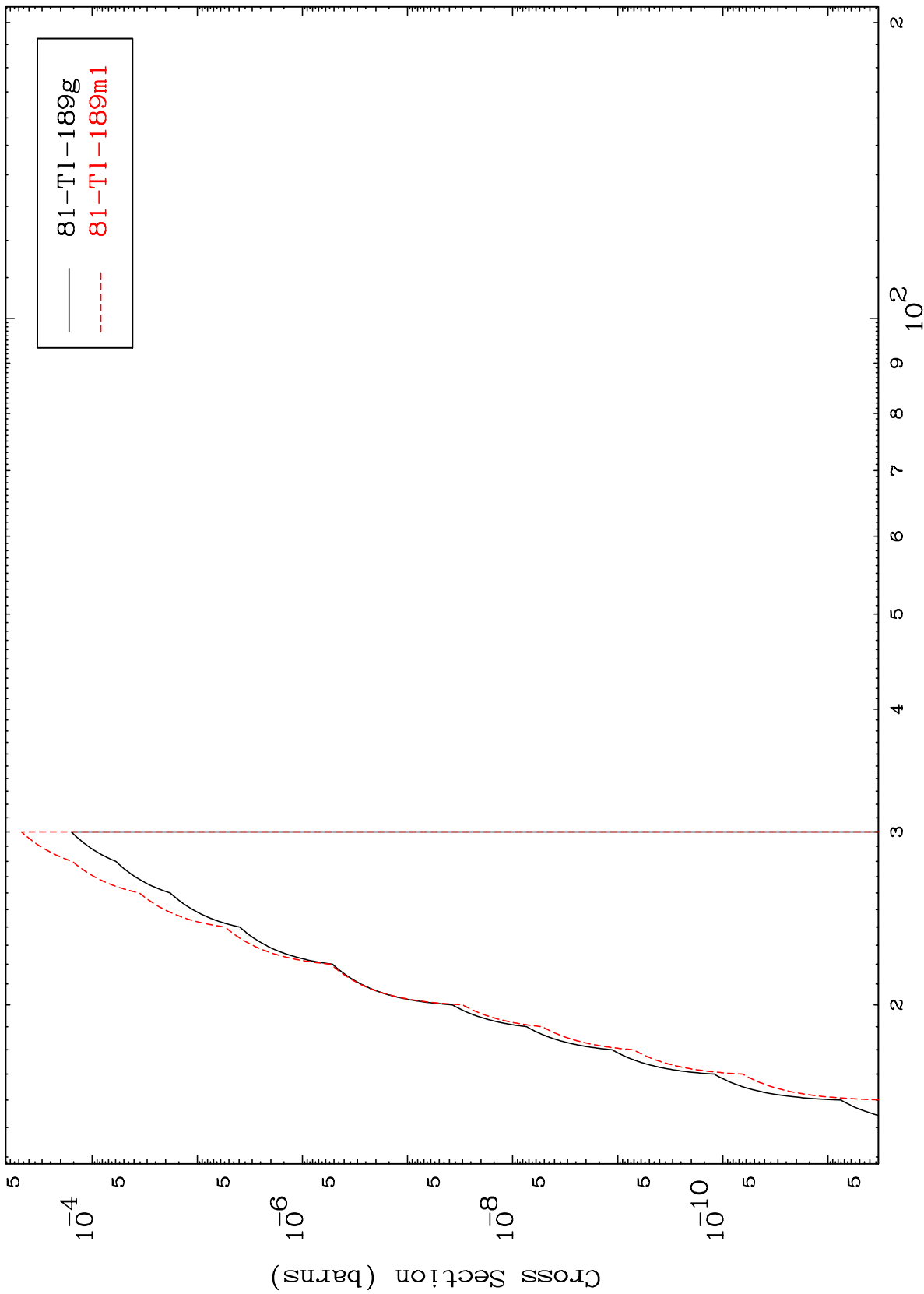
12

MAT 8086

(n,2n) d

81-Tl-190

Radionuclide Production Cross Section



13

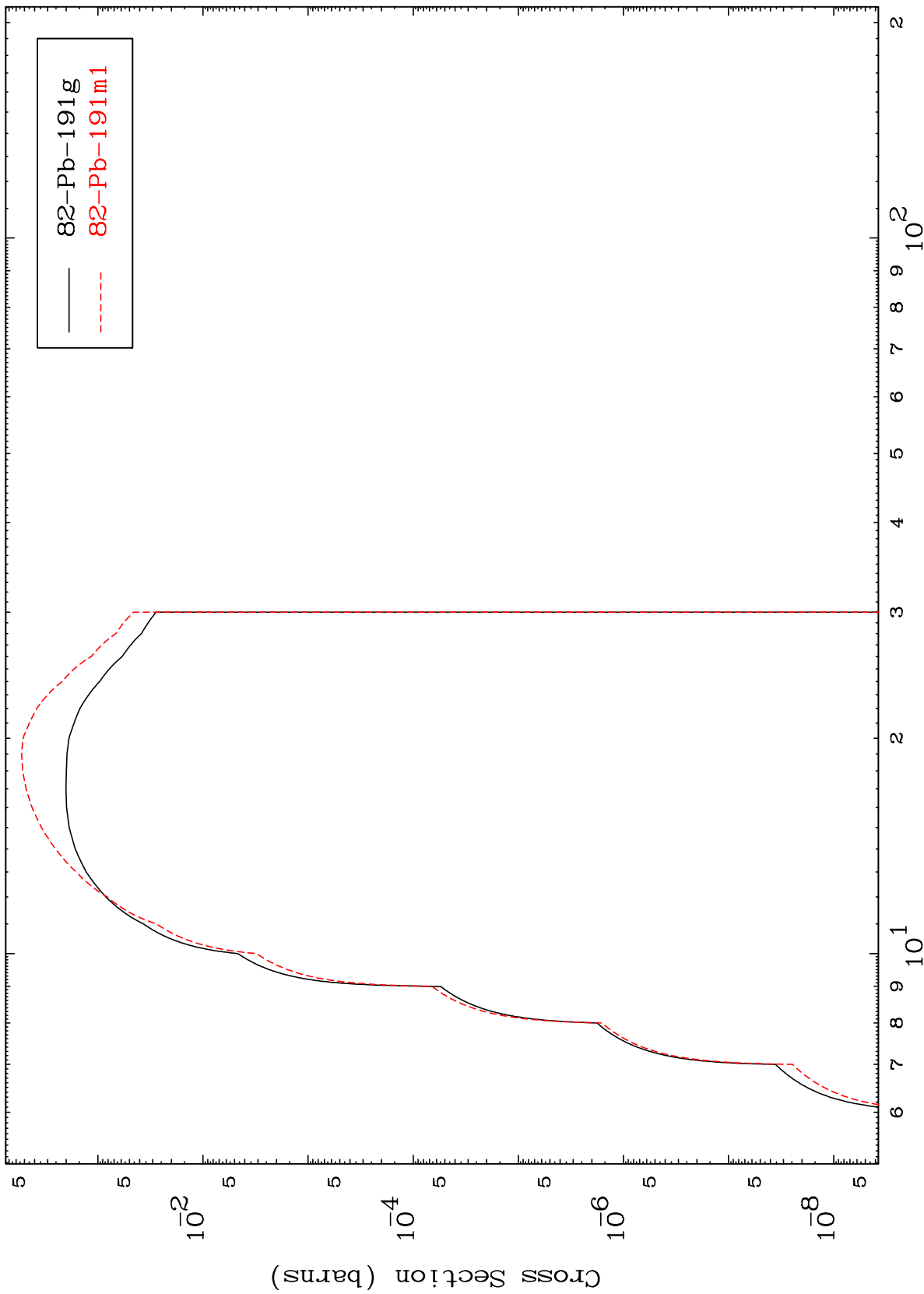
Incident Energy (MeV)

81-Tl-190

MAT 8086

81-T1-190

(n,2n)
Radionuclide Production Cross Section



14

Incident Energy (MeV)

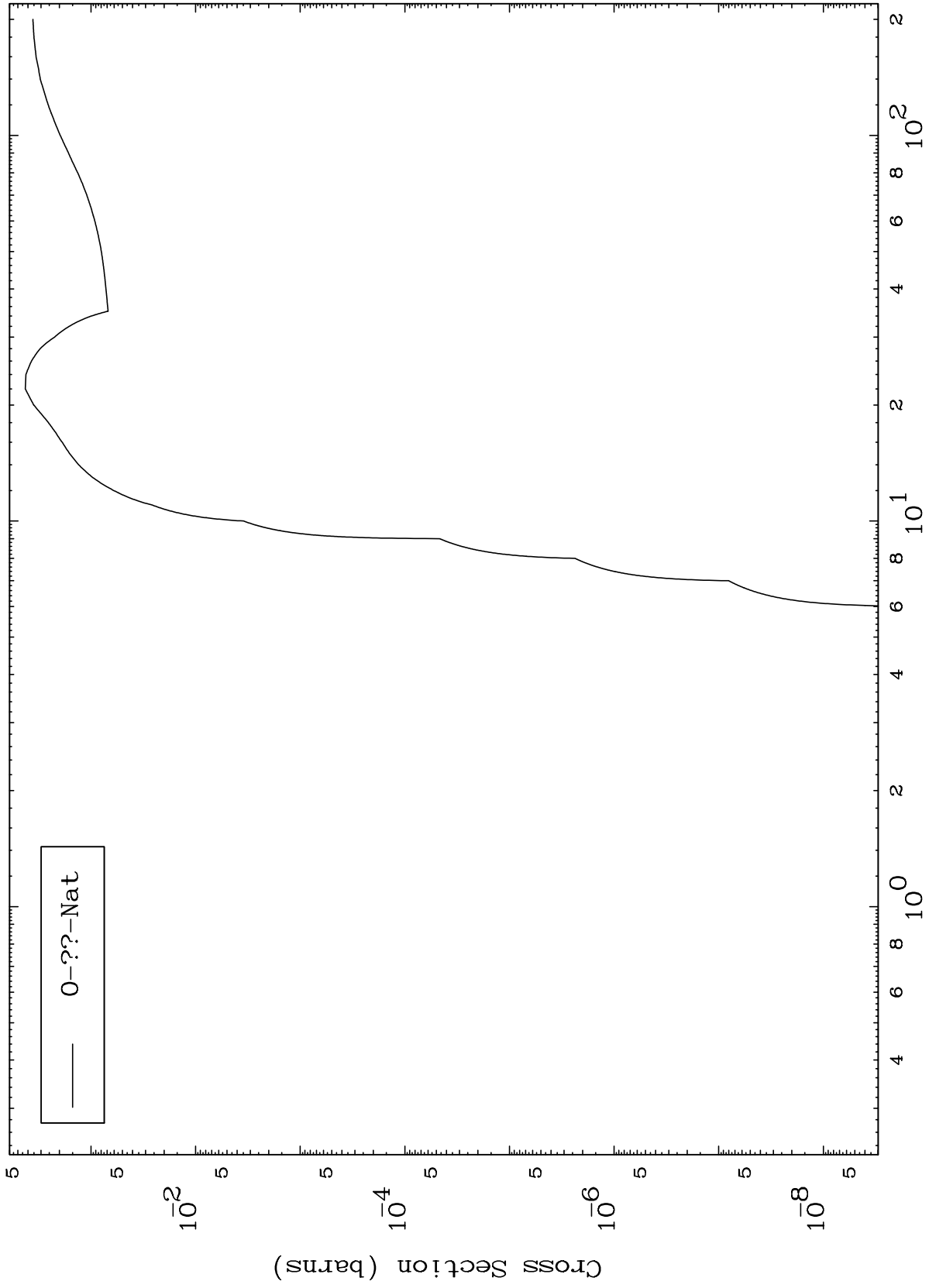
81-T1-190

MAT 8086

Fission

81-Tl-190

Radionuclide Production Cross Section

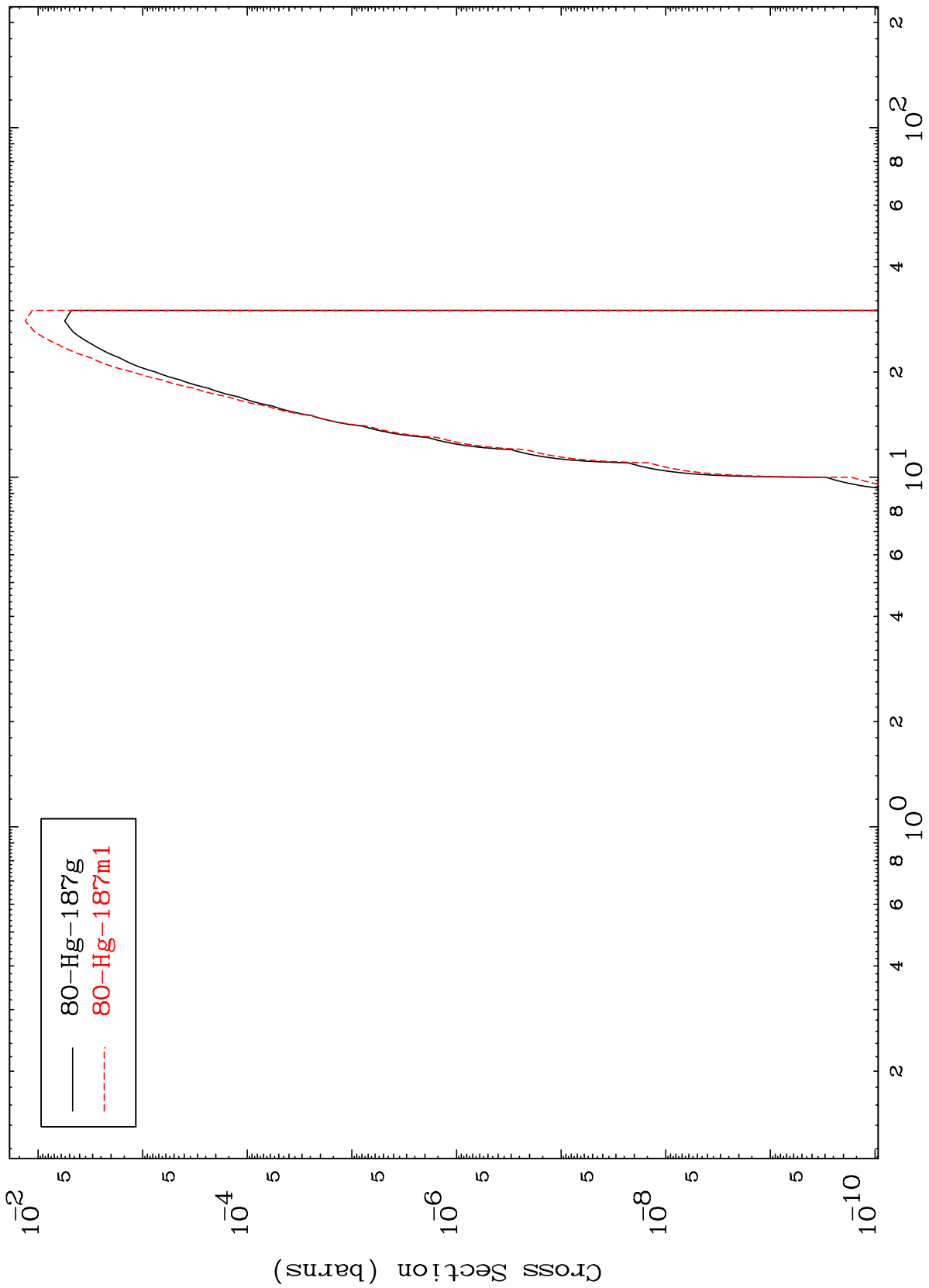


MAT 8086

(n,2n) α

81-Tl-190

Radionuclide Production Cross Section

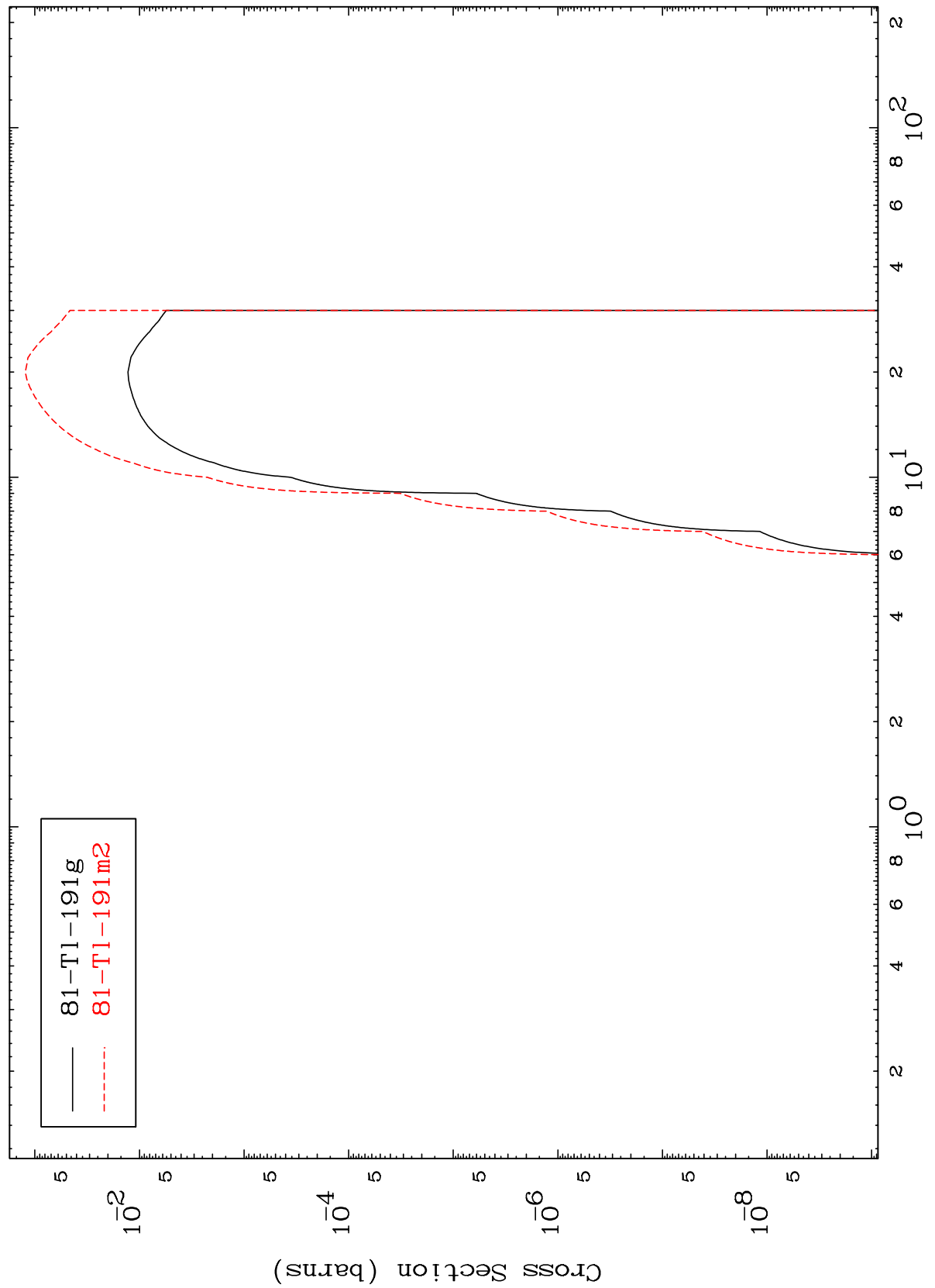


MAT 8086

(n,n') p

81-Tl-190

Radionuclide Production Cross Section

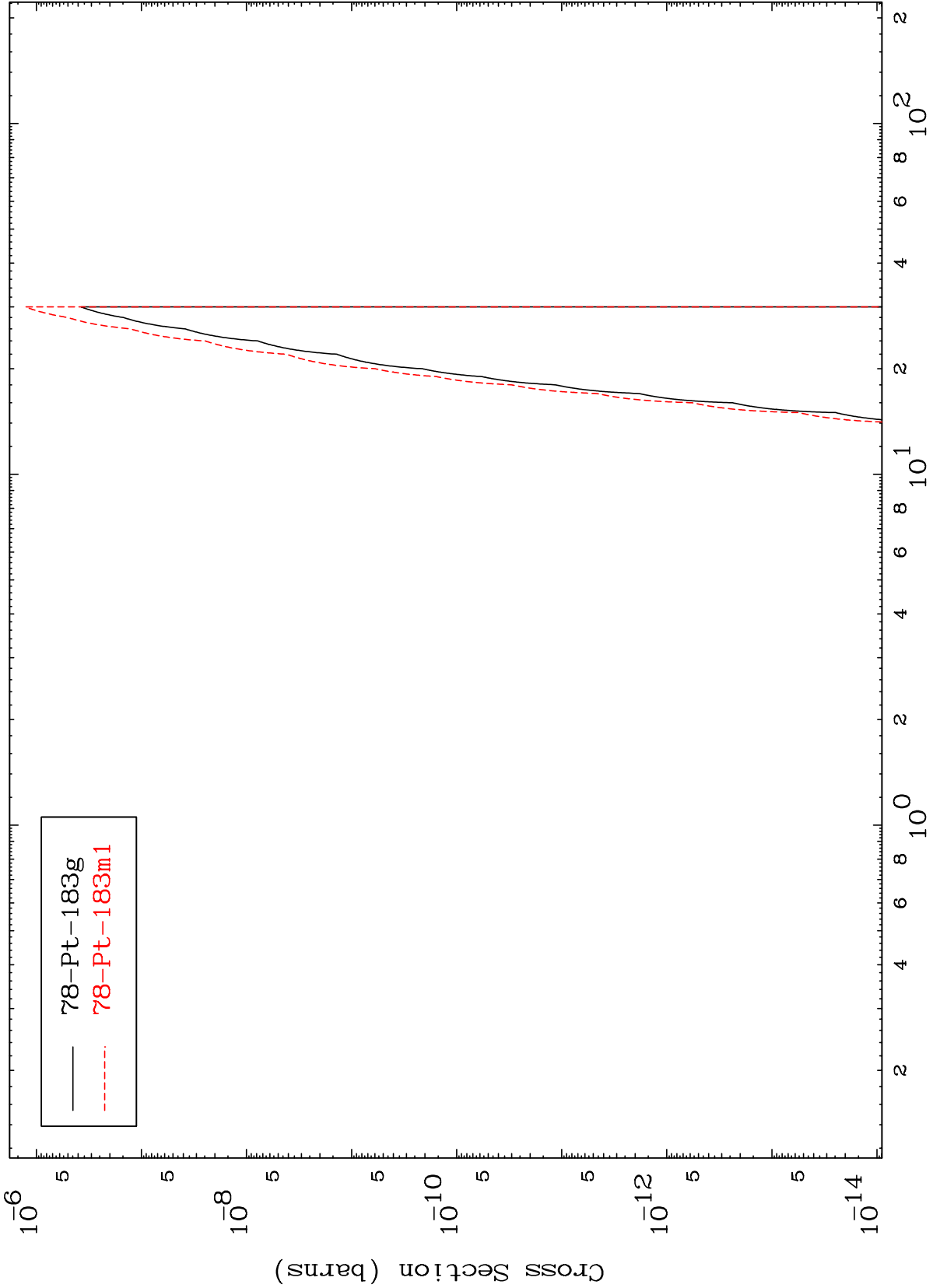


MAT 8086

(n,2n) 2 α

81-Tl-190

Radionuclide Production Cross Section

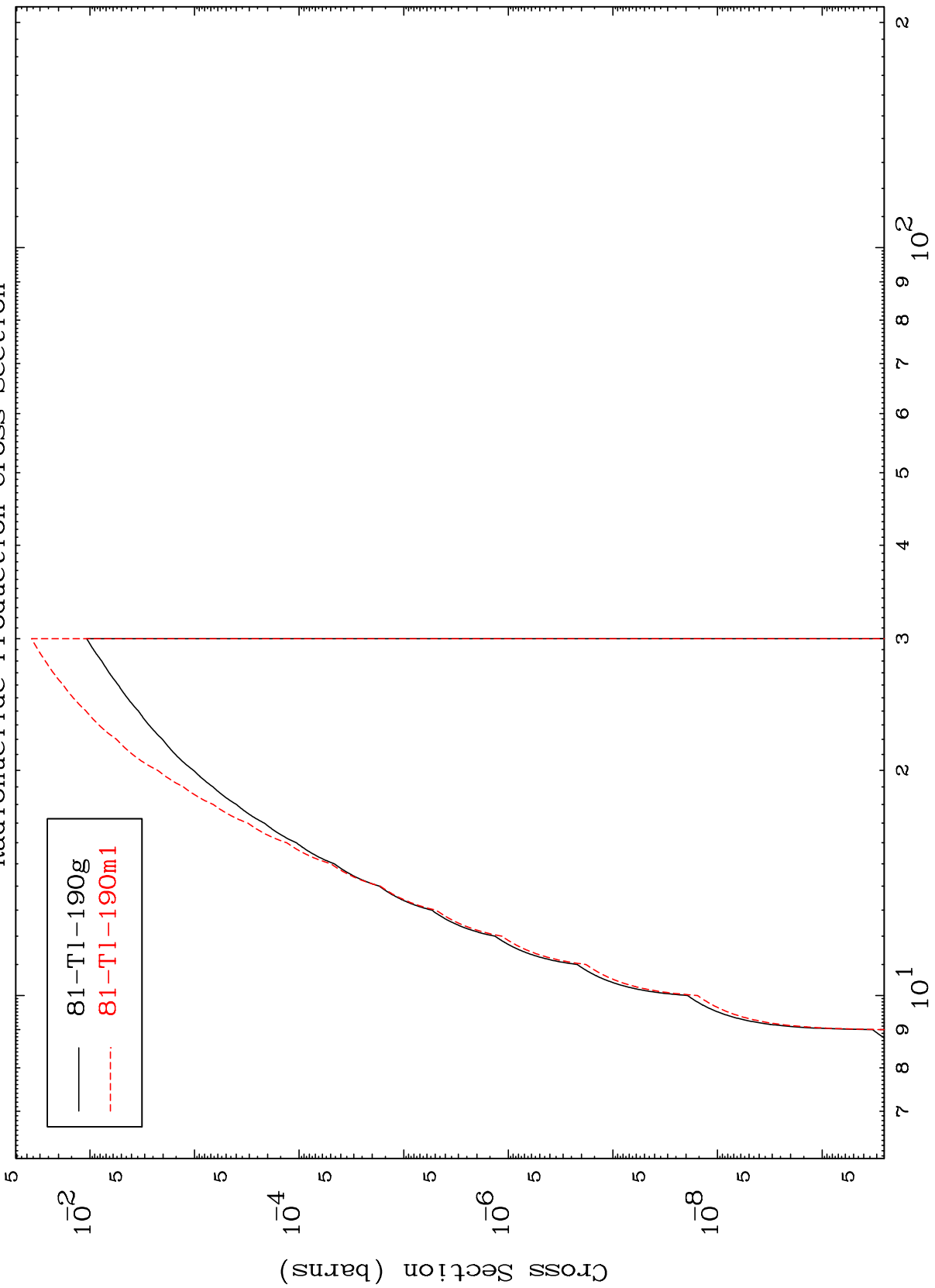


MAT 8086

(n,n') d

81-Tl-190

Radionuclide Production Cross Section



81-Tl-190g
81-Tl-190m1

19

Incident Energy (MeV)

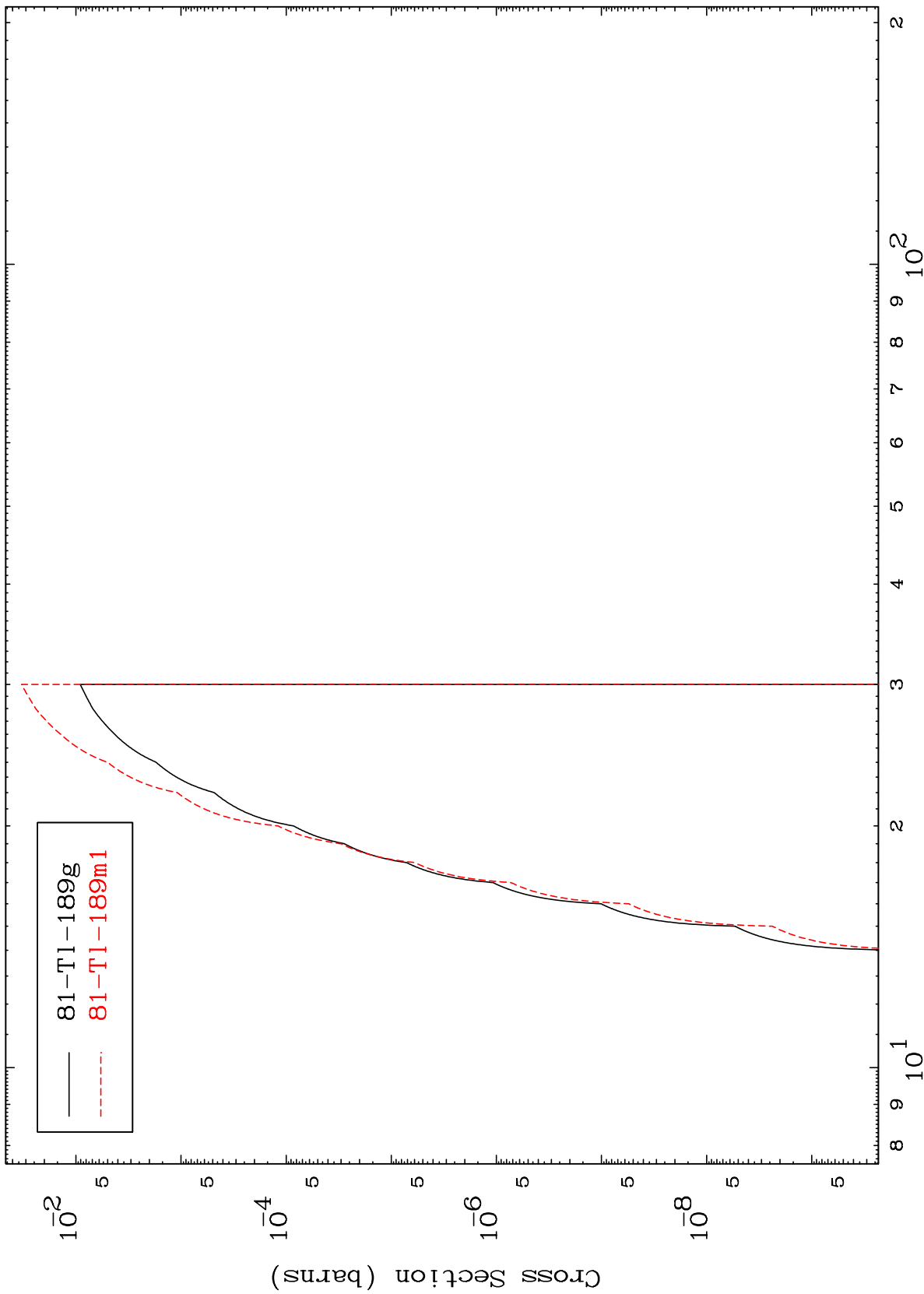
81-Tl-190

MAT 8086

(n,n') t

81-Tl-190

Radionuclide Production Cross Section



81-Tl-189g
81-Tl-189m1

Incident Energy (MeV)

81-Tl-190

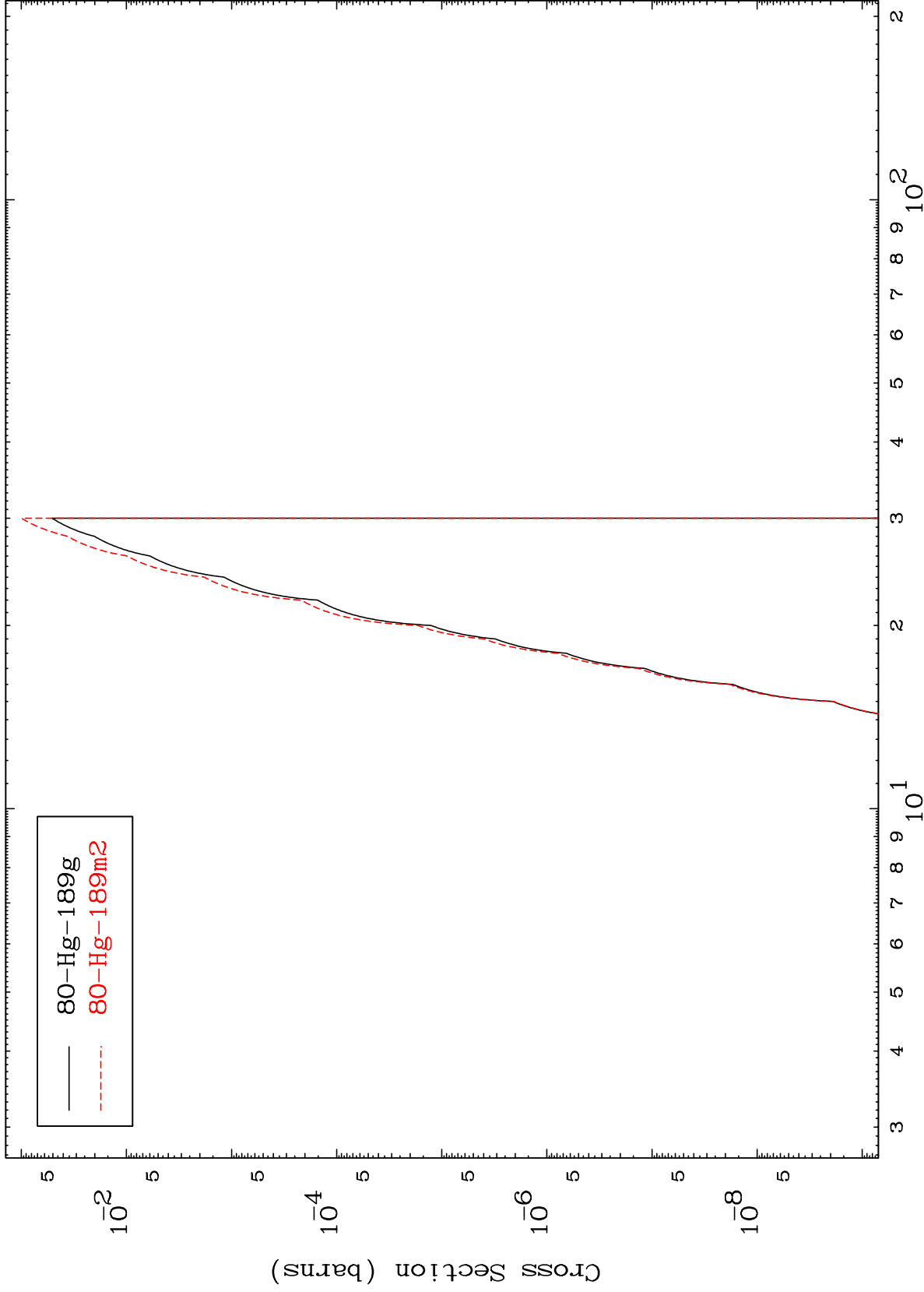
20

MAT 8086

(n,n') He-3

81-Tl-190

Radionuclide Production Cross Section

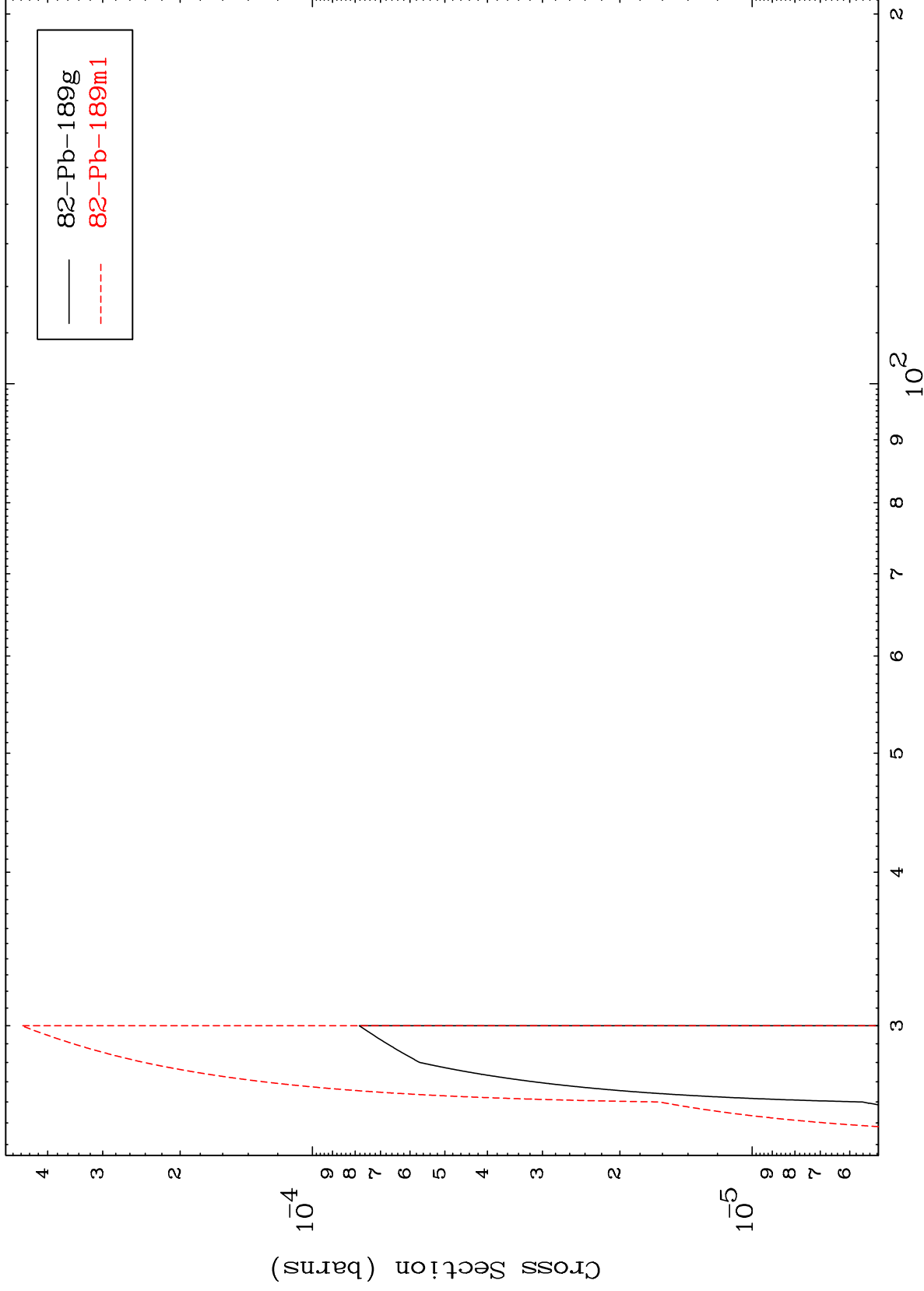


MAT 8086

(n,4n)

81-Tl-190

Radionuclide Production Cross Section



22

Incident Energy (MeV)

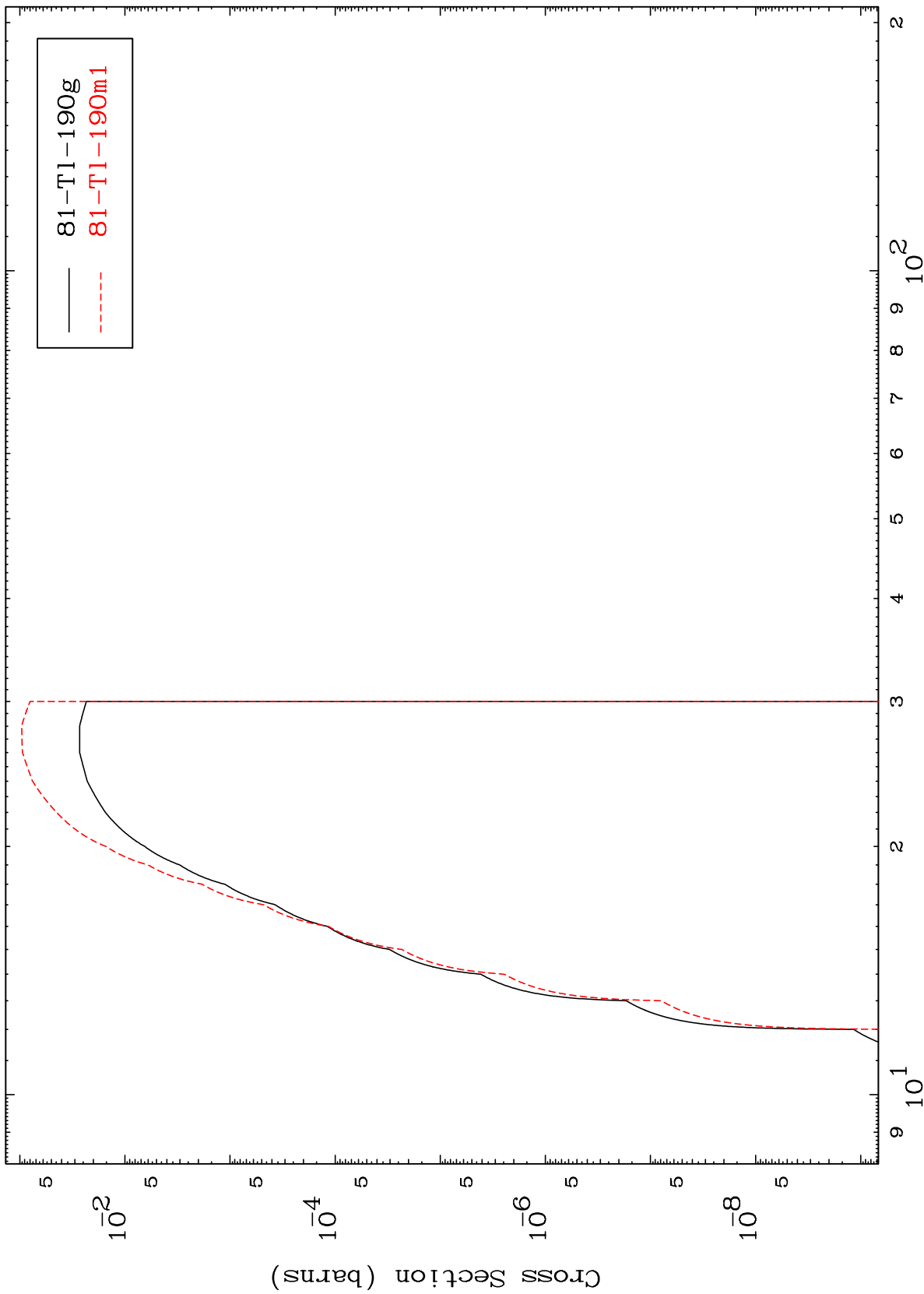
81-Tl-190

MAT 8086

(n,2n) p

81-Tl-190

Radionuclide Production Cross Section



23

Incident Energy (MeV)

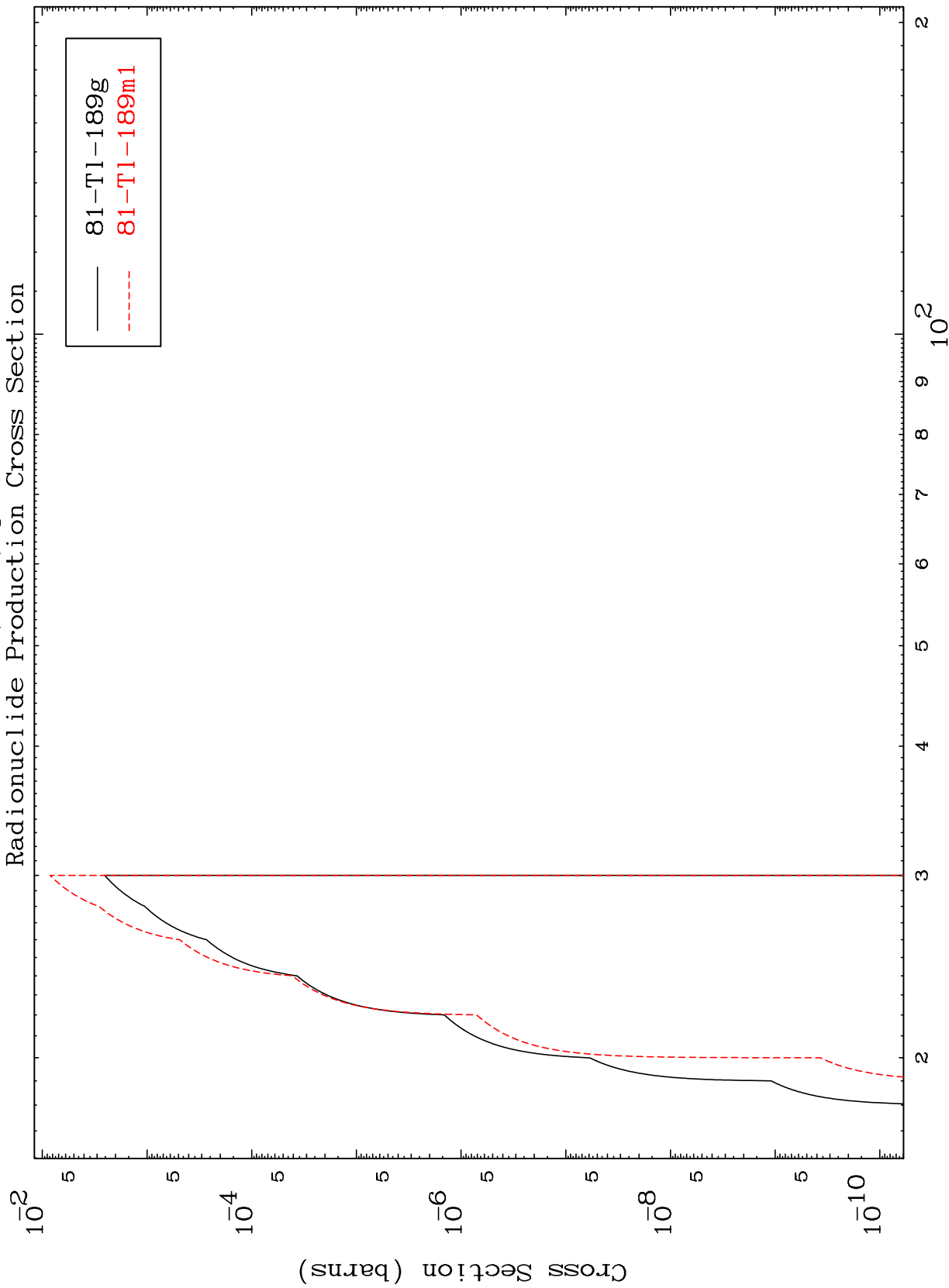
81-Tl-190

MAT 8086

(n,3n) p

81-Tl-190

Radionuclide Production Cross Section



24

Incident Energy (MeV)

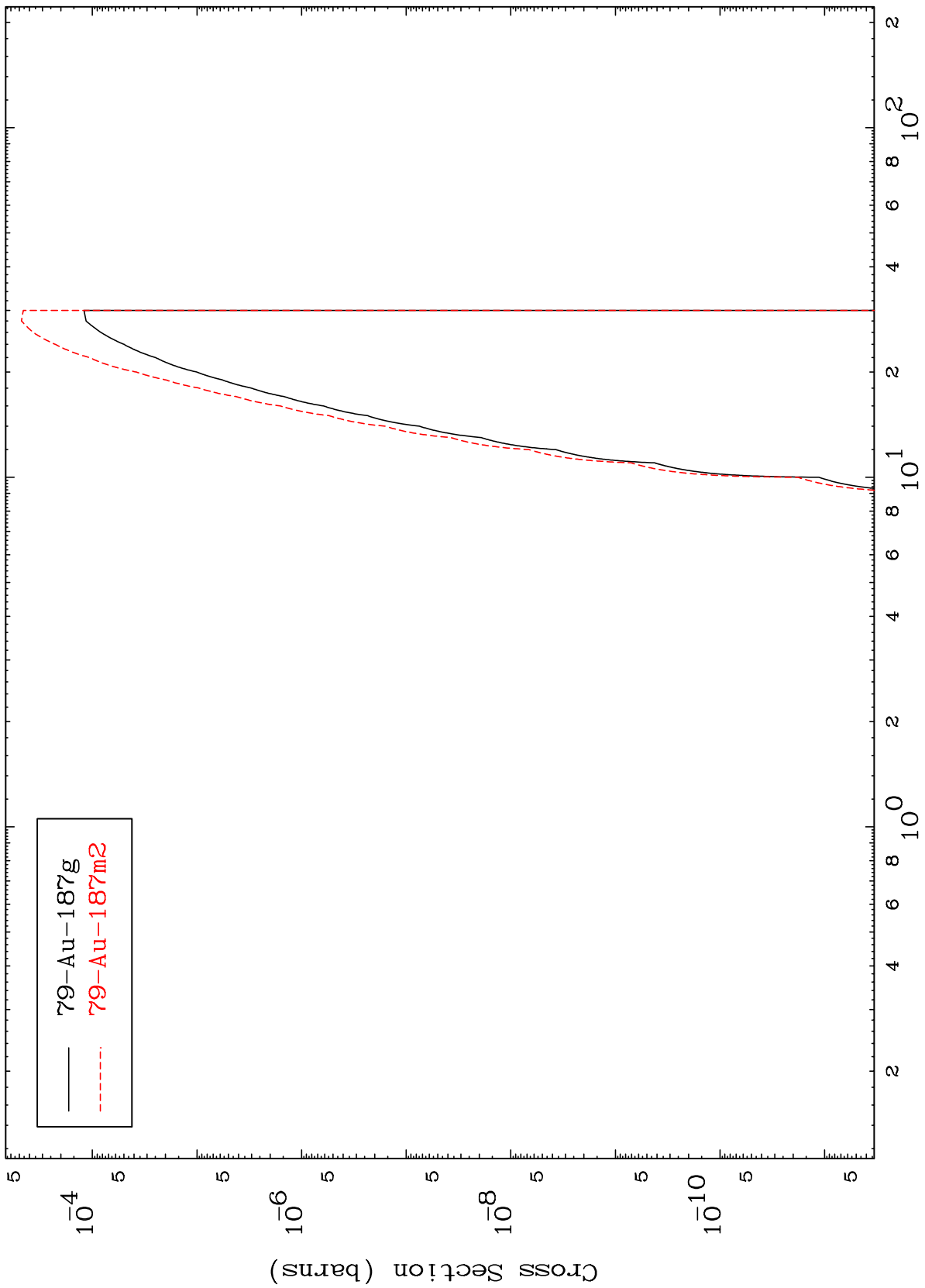
81-Tl-190

MAT 8086

(n,n') p α

81-Tl-190

Radionuclide Production Cross Section



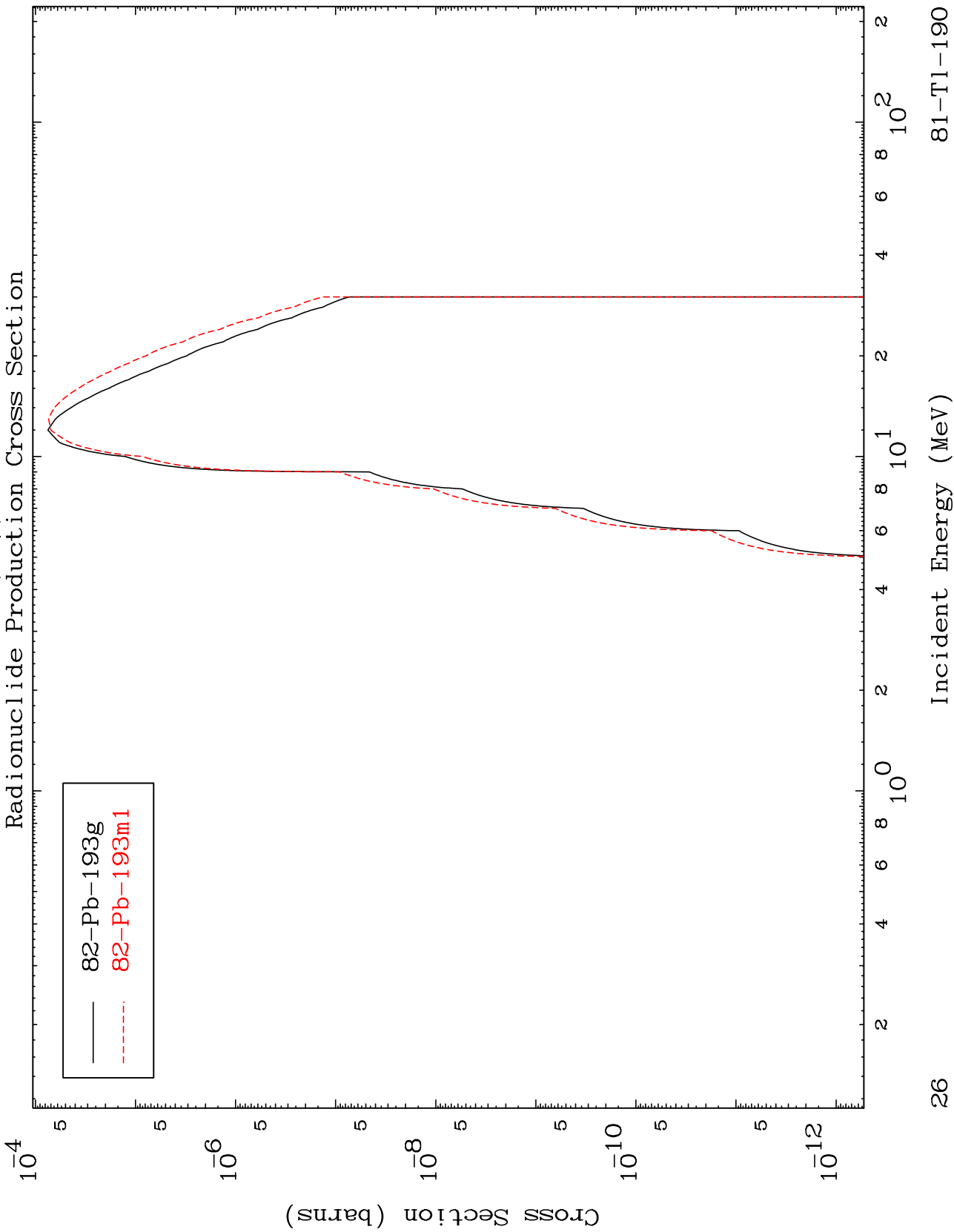
25

Incident Energy (MeV)

81-Tl-190

MAT 8086

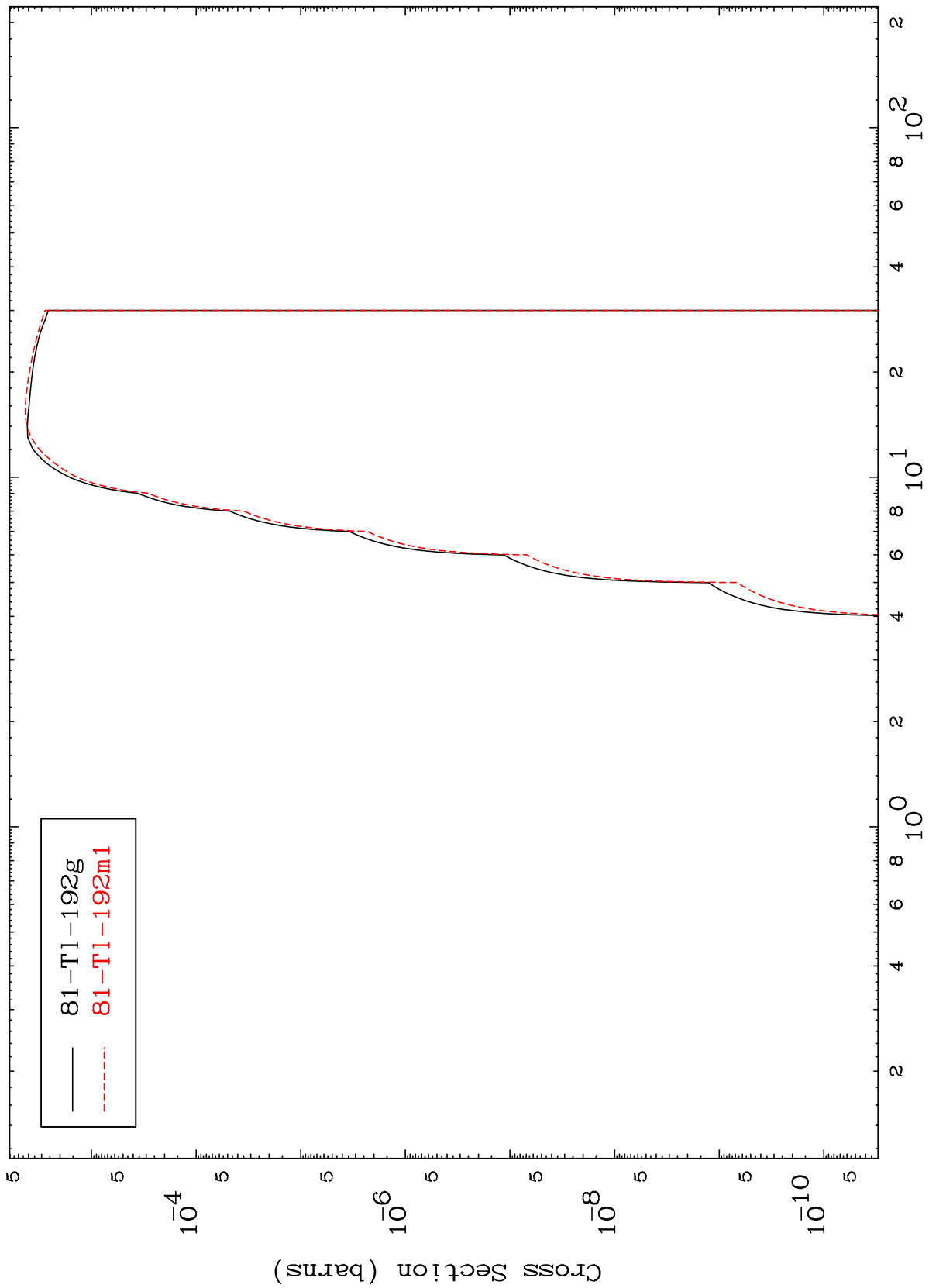
81-Tl-190



MAT 8086

81-Tl-190

(n,p)
Radionuclide Production Cross Section

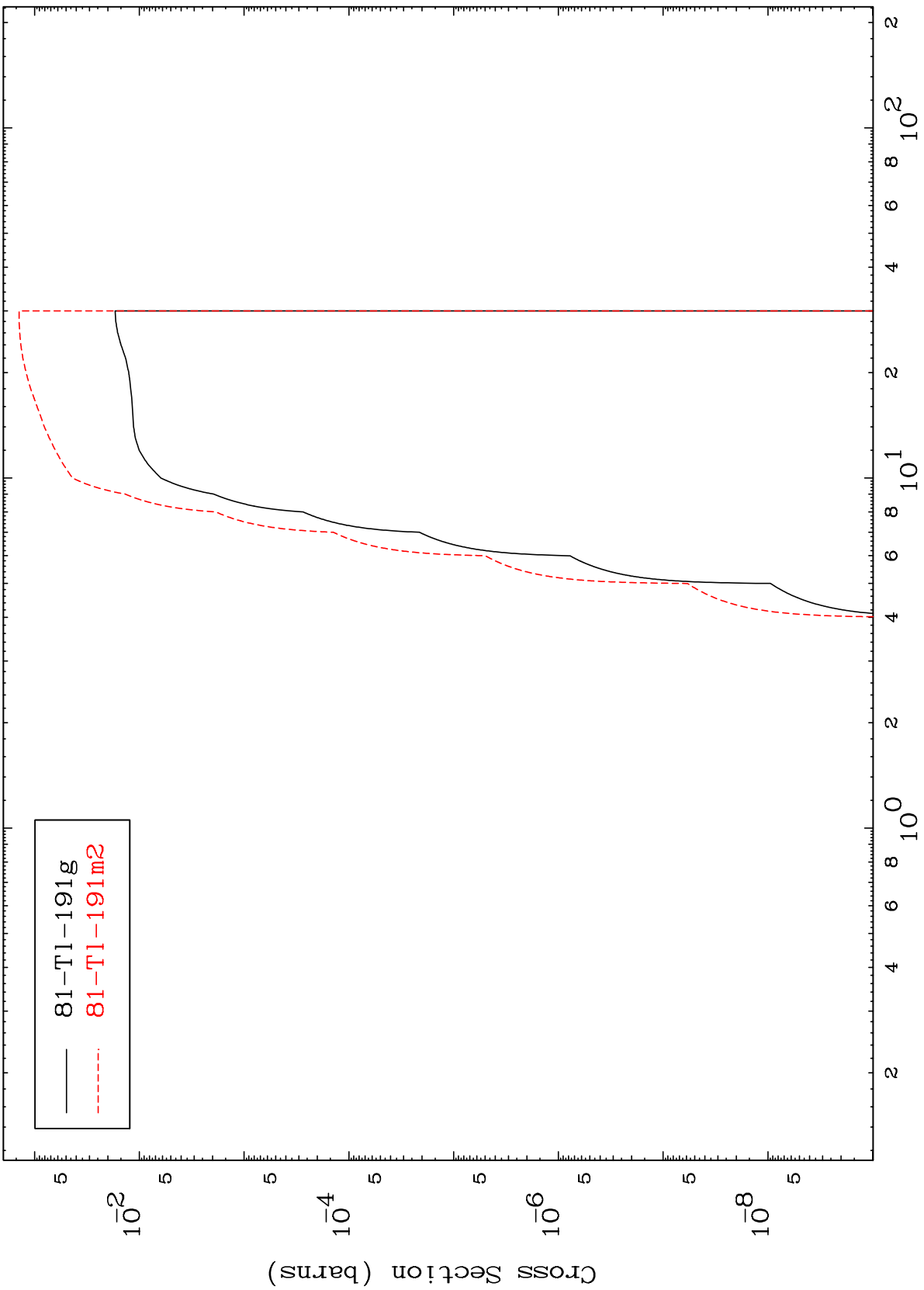


MAT 8086

(n,d)

81-Tl-190

Radionuclide Production Cross Section



MAT 8086

(n, t)

81-Tl-190

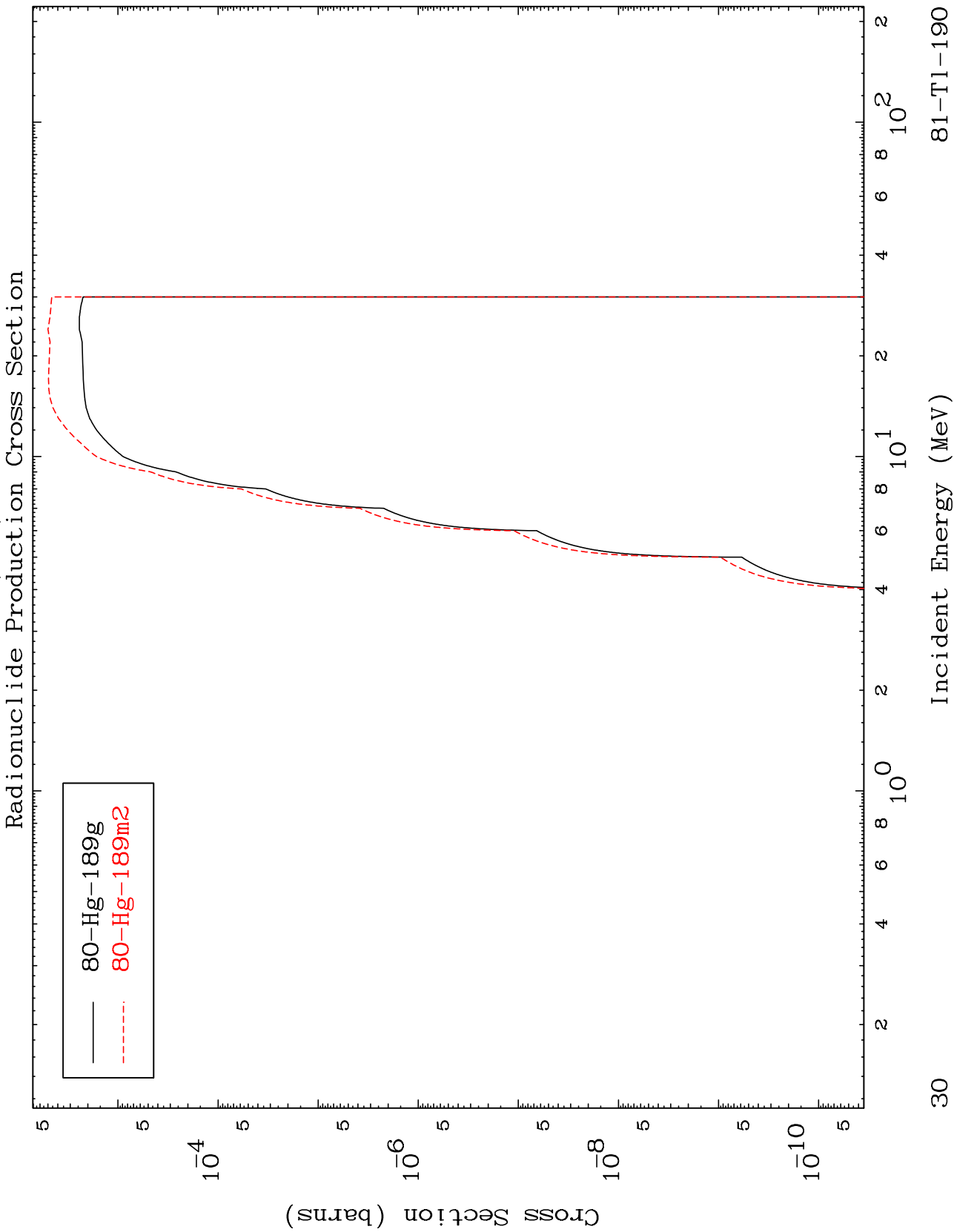
Radionuclide Production Cross Section



81-Tl-190g
81-Tl-190m1

MAT 8086

81-Tl-190

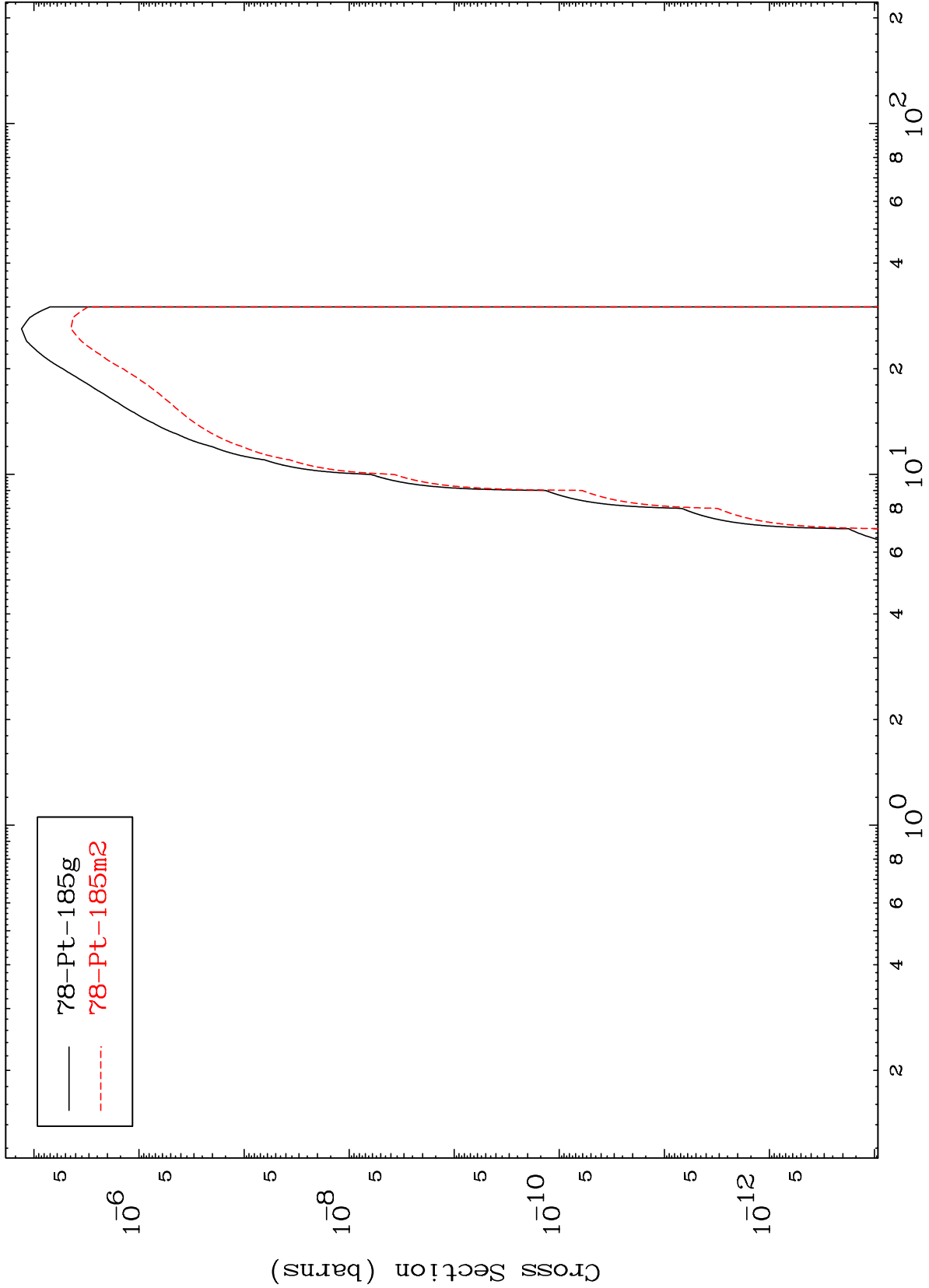


MAT 8086

(n,2α)

81-Tl-190

Radionuclide Production Cross Section

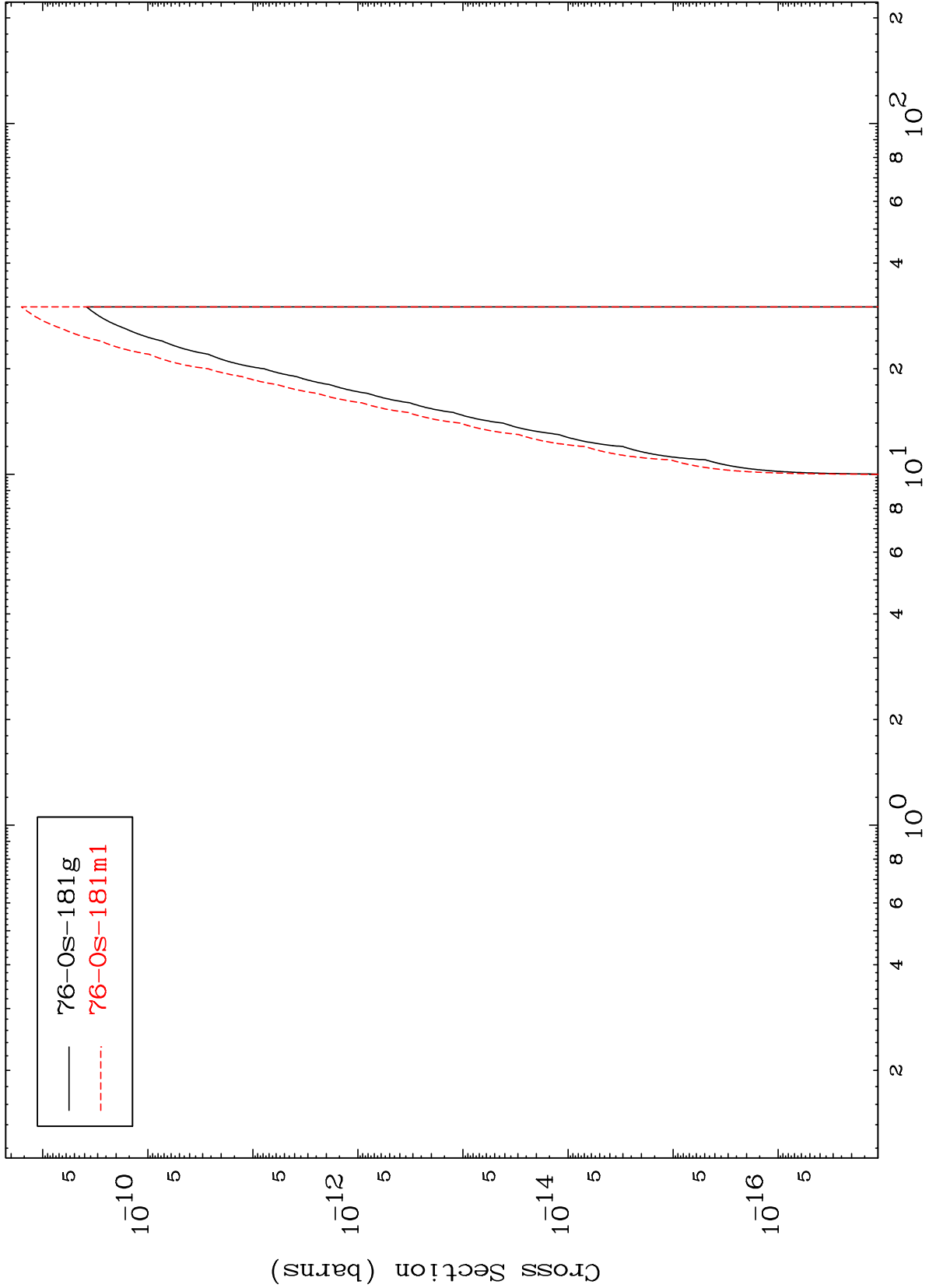


MAT 8086

(n,3 α)

81-Tl-190

Radionuclide Production Cross Section

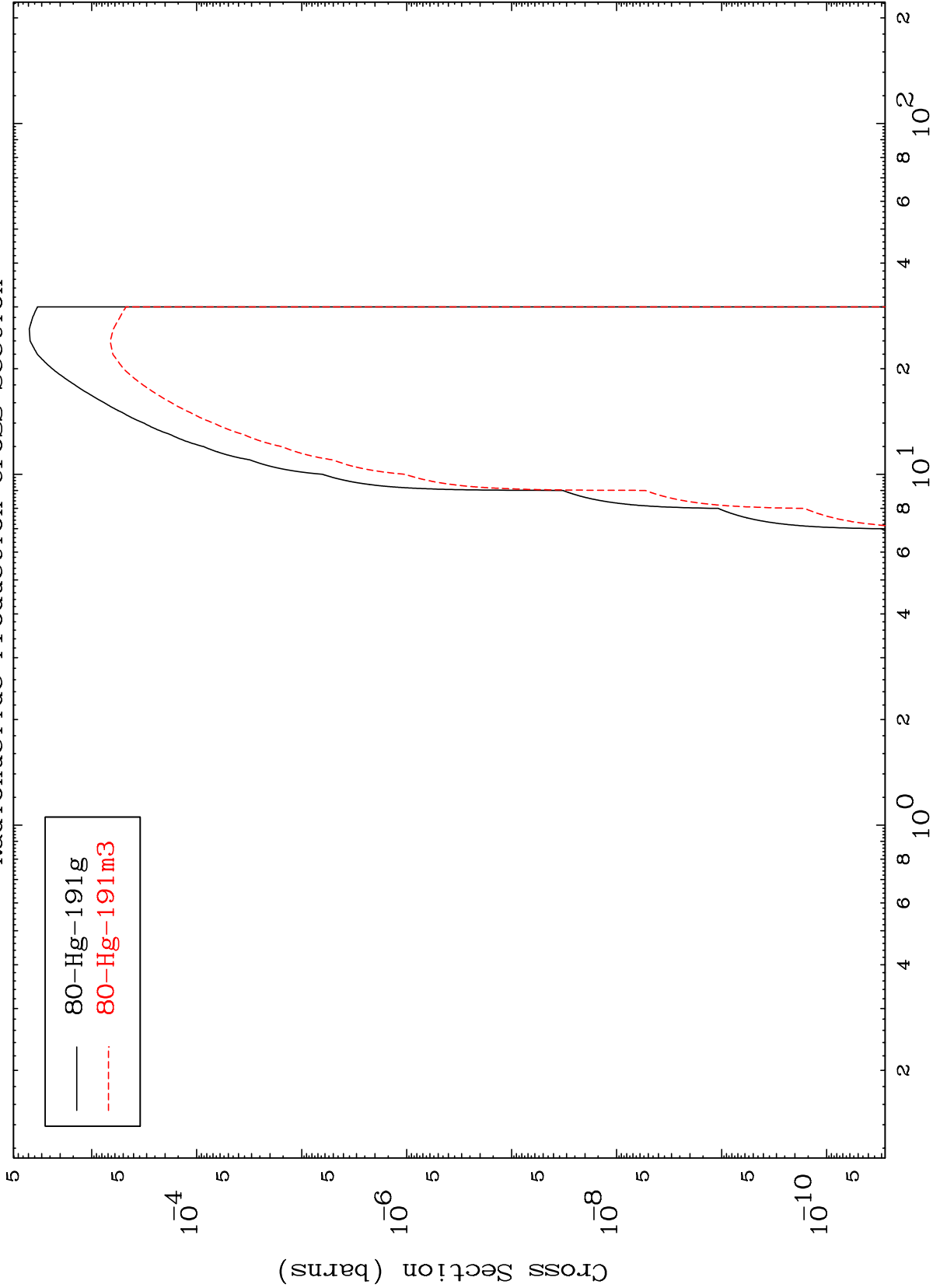


MAT 8086

(n,2p)

81-Tl-190

Radionuclide Production Cross Section



33

Incident Energy (MeV)

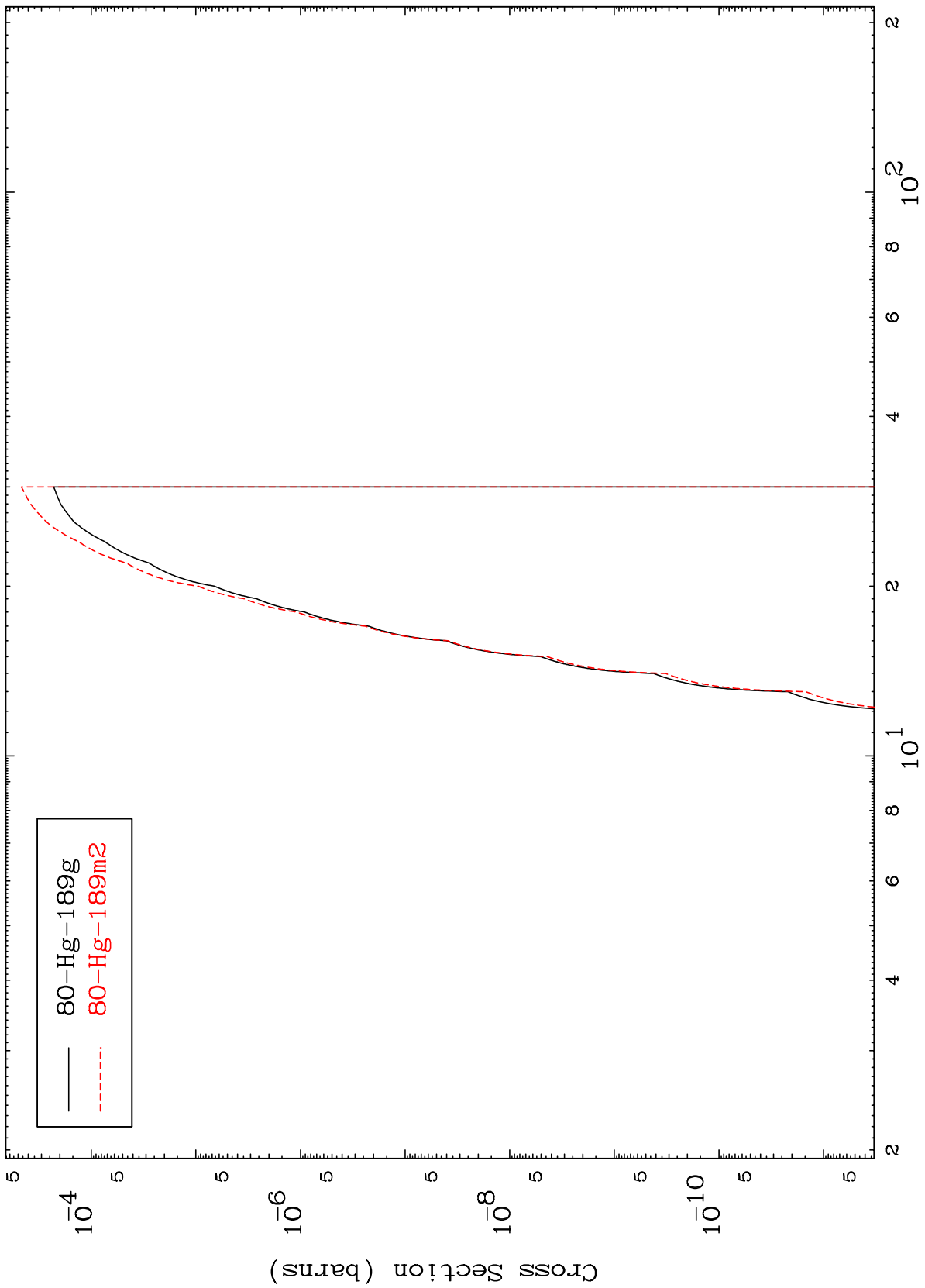
81-Tl-190

MAT 8086

(n,p) t

81-Tl-190

Radionuclide Production Cross Section



34

Incident Energy (MeV)

81-Tl-190

MAT 8086

(n,d) α

81-Tl-190

Radionuclide Production Cross Section

